



Archeo-rapport 140
Het archeologisch vooronderzoek aan de Dijkstraat
te Kasterlee



Michiel Steenhoudt, Marjolijn De Puydt, Ludo Fockedeij & Maarten Smeets

Kessel-Lo, 2013
Studiebureau Archeologie bvba

Archeo-rapport 140

Het archeologisch vooronderzoek in Ter Hulst te Kasterlee

Michiel Steenhoudt, Marjolijn De Puydt, Ludo Fockedey & Maarten Smeets

**Kessel-Lo, 2013
Studiebureau Archeologie bvba**



Colofon

| |
|--|
| Archeo-rapport 140 Het archeologisch vooronderzoek aan de Dijkstraat te Kasterlee |
|--|

Opdrachtgever: NV IMWO Invest

Projectleiding: Maarten Smeets

Leidinggevend archeoloog: Michiel Steenhoudt

Auteurs: Michiel Steenhoudt
Marjolijn De Puydt
Ludo Fockedey
Maarten Smeets

Foto's en tekeningen: Studiebureau Archeologie bvba (behalve figuren 1 t.e.m. 10)

Op alle teksten, foto's en tekeningen geldt een auteursrecht. Zonder voorafgaandelijke schriftelijke toestemming van Studiebureau Archeologie bvba mag niets uit deze uitgave worden vermenigvuldigd, bewerkt en/of openbaar gemaakt, hetzij door middel van webpublicatie, druk, fotokopie, microfilm of op welke andere wijze ook.

D/2013/12.825/4

Studiebureau Archeologie bvba
Jozef Wautersstraat 6
3010 Kessel-Lo
www.studiebureau-archeologie.be
info@studiebureau-archeologie.be
tel: 0474/58.77.85
fax: 016/77.05.41

©2013, Studiebureau Archeologie bvba

Inhoudstafel

| | |
|--|-------|
| Inhoudstafel | p. 1 |
| Hoofdstuk 1 Inleiding | p. 3 |
| Hoofdstuk 2 Bodemkundige aspecten | p. 5 |
| 2.1 Fysiografie | p. 5 |
| 2.1.1 Lokale topografie en hydrografie | p. 5 |
| 2.1.2 Algemene geologische opbouw | p. 5 |
| 2.1.2.1 Tertair geologische opbouw | p. 5 |
| 2.1.2.2 Quartair geologische opbouw | p. 6 |
| 2.2 Bodemeenheden rond de site en hun eigenschappen | p. 7 |
| 2.3 Bodemgenese en terreinwaarnemingen | p. 8 |
| 2.3.1 Bodemgenese | p. 8 |
| 2.3.1.1 Gronden me duidelijke humus en/of ijzer B horizont | p. 8 |
| 2.3.1.2 Gronden met diepe antropogene humus A horizont | p. 9 |
| 2.3.2 Terreinwaarnemingen | p. 9 |
| 2.3.3 Datering en vorming van humeuze bovengrond | p. 11 |
| 2.3.3.1 Datering | p. 11 |
| 2.3.3.2 Genese | p. 11 |
| 2.3.3.3 Kartering | p. 11 |
| 2.3.3.4 Morfologie | p. 12 |
| 2.3.3.5 Invloed op archeologische sporen | p. 13 |
| 2.4 Resultaten | p. 13 |
| Hoofdstuk 3 Werkmethode | p. 15 |
| Hoofdstuk 4 Beschrijving van de sporen | p. 17 |
| Hoofdstuk 5 Besluit | p. 21 |
| Bibliografie | p. 23 |
| Bijlagen | p. 25 |
| Bijlage 1: Sporeninventaris | p. 27 |
| Bijlage 2: Fotoinventaris | p. 33 |
| Bijlage 3: Coupetekeningen | p. 39 |
| Bijlage 4: Profielbeschrijving | p. 41 |
| Bijlage 5: Harrismatrix | p. 43 |
| Bijlage 6: Verklarende woordenlijst | p. 45 |
| Bijlage 7: Detailplan sleuf 14 | p. 47 |
| Bijlage 8: Opgravingsplan | p. 49 |

Hoofdstuk 1 Inleiding

Naar aanleiding van de verkaveling van het projectgebied aan de Dijkstraat te Kasterlee werd door Onroerend Erfgoed een archeologisch vooronderzoek in de vorm van proefsleuven opgelegd.

Het onderzoek werd door NV Imwo Invest aan Studiebureau Archeologie bvba toevertrouwd en het terreinwerk werd uitgevoerd van 3 december 2012 tot en met 12 december 2012.

Het projectgebied beslaat ca. 7,7 ha en is omsloten ten noorden door de straat Hulst, ten oosten door de Boekweitbaan, ten zuiden door de Dijkstraat en ten westen door de Akkerstraat en een grasveld.

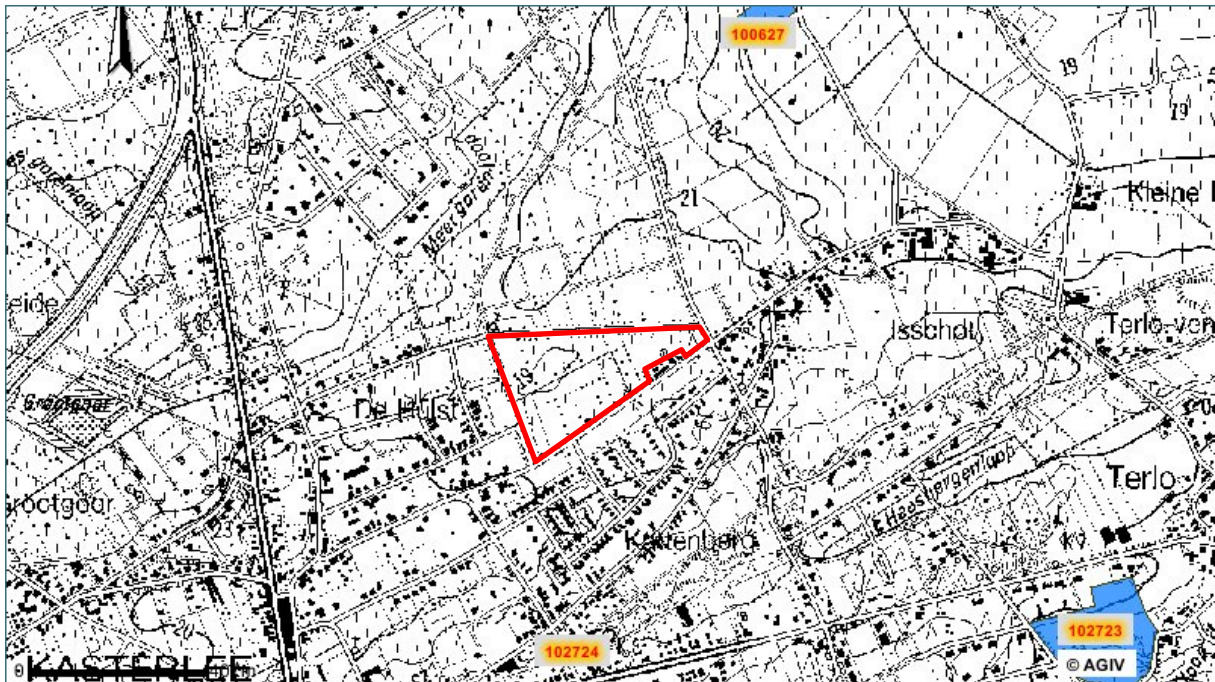


Fig. 1: Uittreksel uit de CAI met situering van het projectgebied.

Op de Centrale Archeologische Inventaris (CAI) (fig. 1) zijn in de directe omgeving van het projectgebied 3 archeologische vindplaatsen aangeduid.

Ten noorden van het projectgebied zijn er mogelijk sporen van celtic fields aanwezig (CAI 100627). Deze theorie is volgens de informatiefiche op de CAI echter betwistbaar. Op de Ferrariskaart (1771-1778) (fig. 2) is te zien dat er ten zuiden van het huidige project gebied een molen (CAI 102724) stond en ten zuidoosten een site met walgracht (CAI 102723). Het huidige projectgebied zelf was ten tijde van de Ferrariskaart heide. Ook op de Atlas der Buurtwegen (fig. 3) is er geen bebouwing te zien op de locatie van het huidige projectgebied.

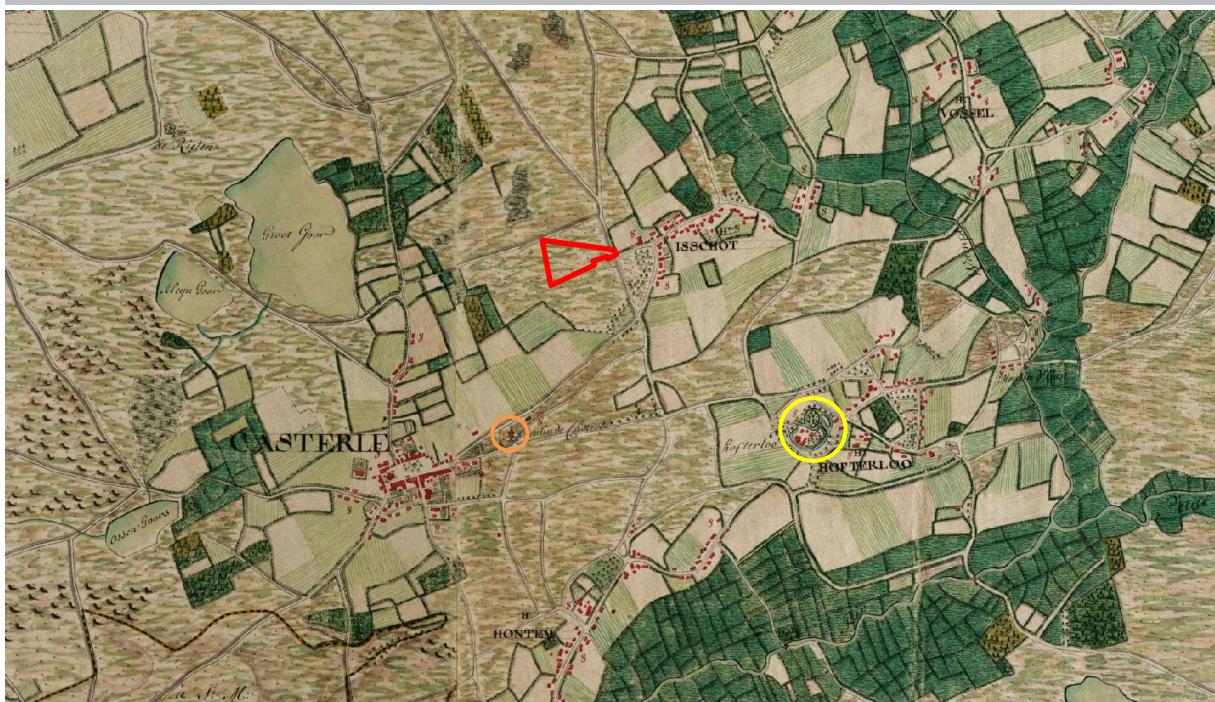


Fig. 2: Uittreksel uit de Ferrariskaart met situering van het projectgebied (rood), molen (oranje) en site met walgracht (geel).

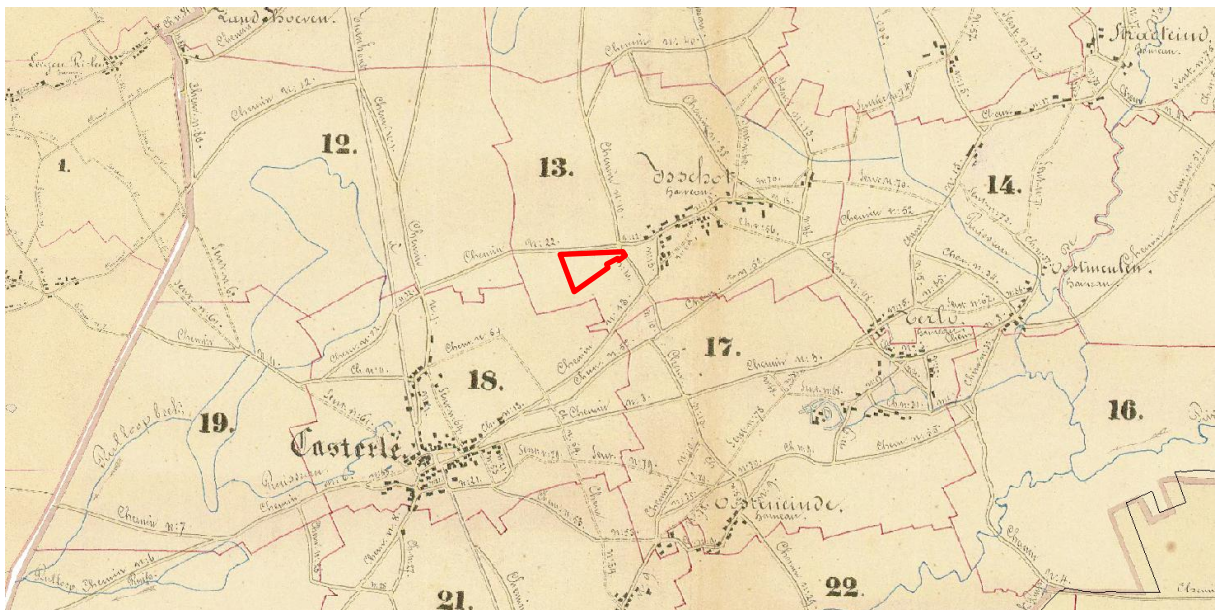


Fig. 3: Uittreksel uit de Atlas der Buurtwegen met situering van het projectgebied.

Hoofdstuk 2 Bodemkundige aspecten

2.1 Fysiografie

2.1.1 Lokale topografie en hydrografie

Het onderzoeksgebied ligt op een hoogte tussen 18 en 20 m TAW. Er is een lichte depressie in het westelijke deel van het terrein, gelegen naast een lage rug in het oostelijk deel van het terrein (fig. 4). De afwatering gebeurt door de Heesbergenloop (fig. 5). Deze behoort tot het Netebekken.



Fig. 4: Noord-zuid lengteprofiel van het oppervlak en de helling in het projectgebied.

2.1.2 Algemene geologische opbouw

2.1.2.1 Tertiair geologische opbouw

Onder het projectgebied bevinden zich sedimenten die behoren tot de formatie van Poederlee (fig. 6). Deze formatie dateert uit het Pliocene (fig. 7).

De Formatie van Poederlee bestaat uit bleekgrijs, fijn zand, soms aaneengekit to limonietbanken met schelpafdrukken in een kenmerkend basisgrint van afgeplatte kwartskeitjes.



Fig. 5: Topografie en hydrografie rond het aangeduide onderzoeksgebied.

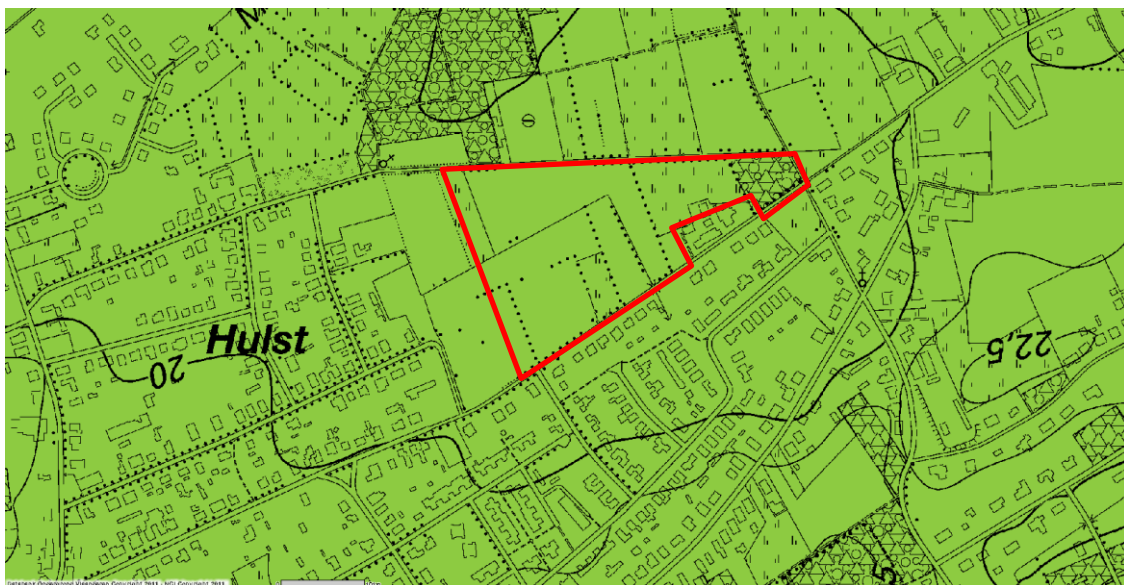


Fig. 6: Tertiair geologische kaart met aanduiding van het projectgebied.

2.1.2.2 Quartair geologische opbouw

De quartaire laag bestaat uit zandlagen die eolisch zijn afgezet. Deze zandige deklaag bestaat uit geel tot grijs kwartszand en heeft af en toe een lichte bijmenging van glauconiet of met keitjes aan de basis. Het dekzand is gemiddeld tussen 0,5 en 1,5 m dik. De juiste ouderdom van de zandige deklaag is niet gekend. Wel kan aan de hand van beschouwing dit pakket gedateerd worden: het Zdek overdekt het veen te Oevel en komt overeen met OIS 4. De zandige deklaag rust op Tertiair.

Het archeologisch vooronderzoek aan de Dijkstraat te Kasterlee

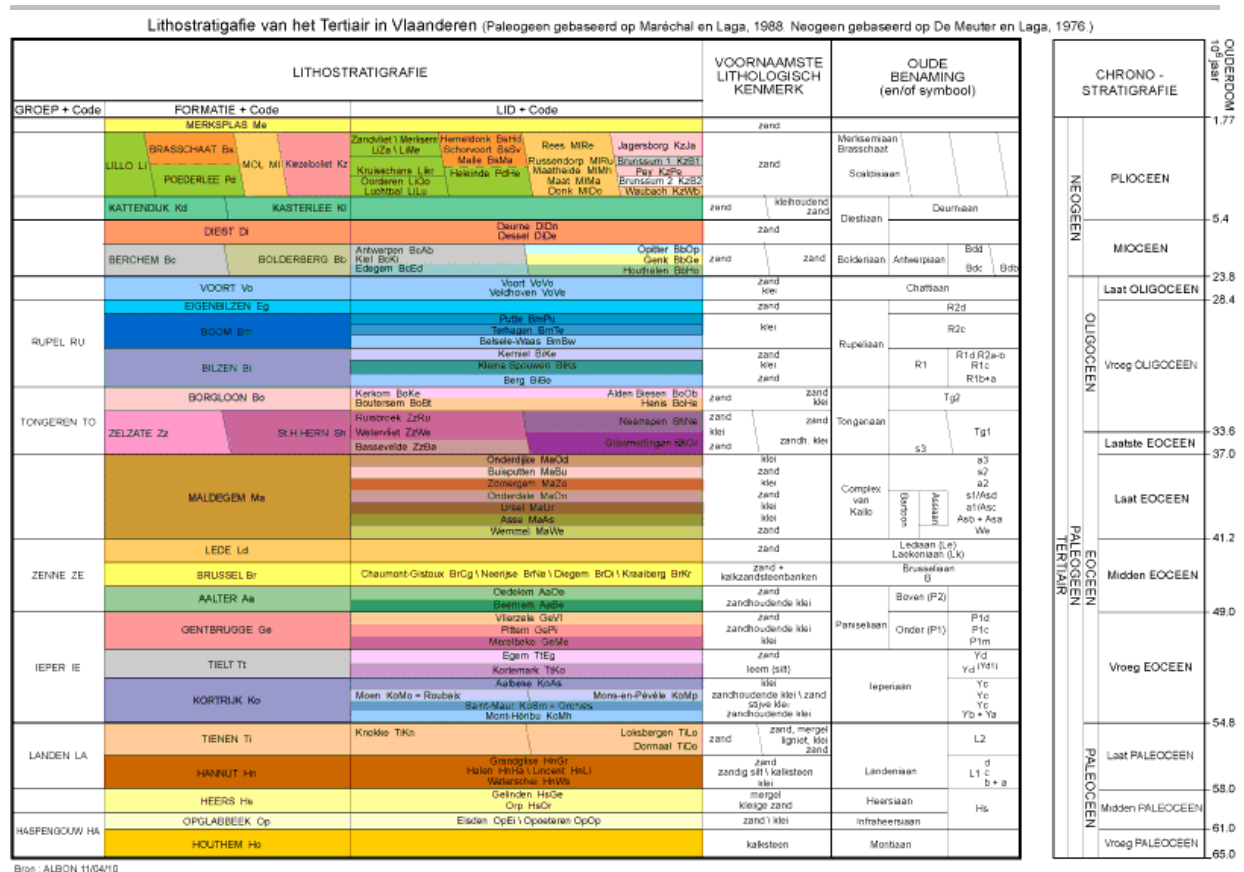


Fig. 7: Litho- en chronostratigrafie van het Tertiair in Vlaanderen.

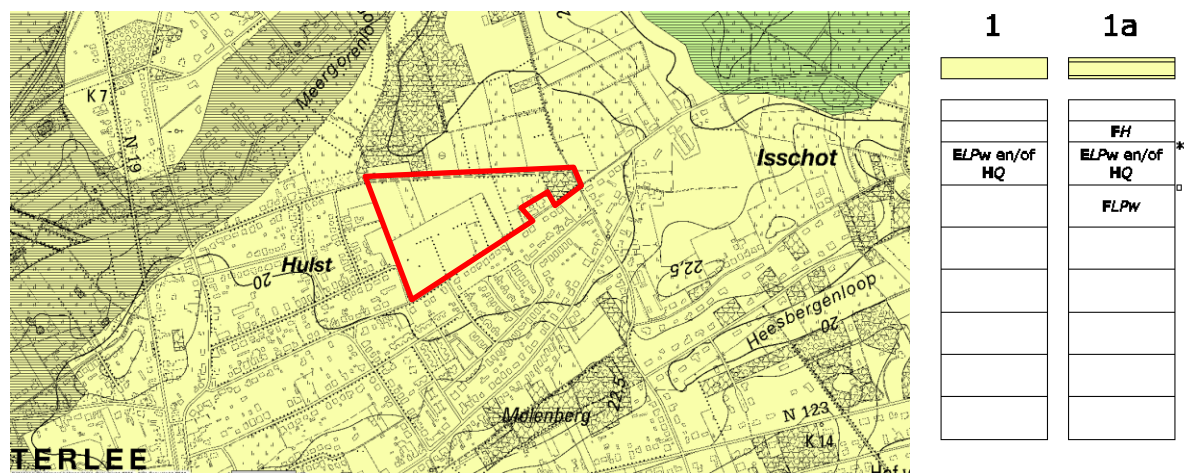


Fig. 8: Quartair geologische kaart met aanduiding van het projectgebied.

2.2 Bodemeenheden rond de site en hun eigenschappen

Het projectgebied ligt op lemig-zand (S) (fig. 9). **Sdg3** zijn matig natte lemig-zandgronden met duidelijke humus of/ en ijzer B horizont met dikke humeuze bovengrond (...3). In profiel zijn het hydromorfe humuspodzolen. Een donkergrijze Ap rust op een uitgeloopte grijze E horizont. De B horizont bestaat uit een zwartbruine (Bh₁) en een bruine humus B (Bh₂). De podzol B is diffuus en

reikt tot meer dan 80 cm diepte. De C horizont vertoont weinig of geen roestverschijnselen en is grijs tot groenachtig¹.

Seg3 zijn natte lemig-zandgronden met duidelijke humus of/en ijzer B horizont met dikke humeuze bovengrond (...3). In profiel zijn het sterk hydromorfe humuspodzolen. De zwartgrijze Ap is dikwijls veenachtig en bevat veel afgeloogde kwartskorrels, afkomstig van de E die ermee verwerkt is. De B horizont, hoofdzakelijk een humusaccumulatie, is zeer diffuus. Tussen 80 en 125 cm diepte is er een overgang tot een groenachtige, gereduceerde G horizont².

Scm zijn matig droge lemig-zandgronden met diepe antropogene humus A horizont. In profiel is het een zwak hydromorfe plaggenbodem. De bruinachtige plaggenhorizont (Ap_1+Ap_2) vertoont op meer dan 60 cm een zwartgrijze horizont (oude A_1 of Ap) van een begraven profiel. Roestverschijnselen komen voor tussen 60 en 90 cm in zoverre de ondergrond niet gevormd is door een hydromorfe podzol. Het humusgehalte bedraagt gemiddeld ca. 4%³.

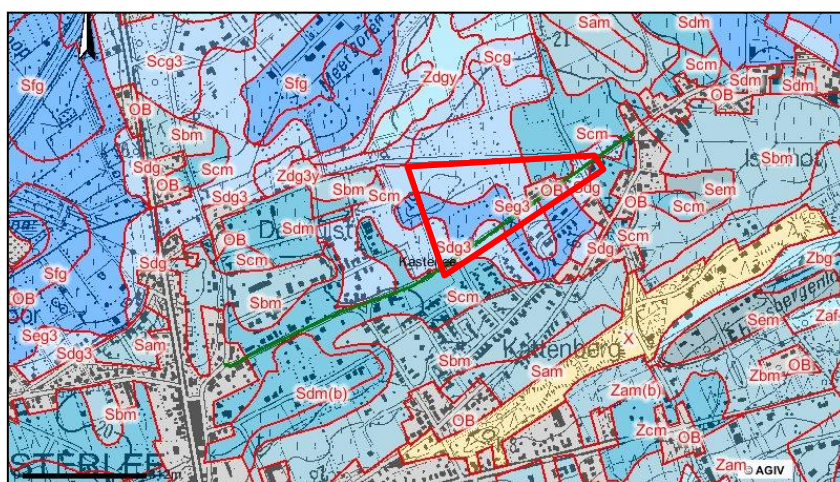


Fig. 9: Overzicht van het bodemlandschap met aanduiding van het onderzoeksgebied.

2.3 Bodemgenese en terreinwaarnemingen

2.3.1 Bodemgenese

2.3.1.1 Gronden met duidelijke humus of/en ijzer B horizont

Deze gronden zijn podzolen. Na de uitloging van klei en sesquioxyden vertonen de zandige sedimenten een accumulatie van humus of/en ijzer in de oppervlakkige lagen.

De A₁ horizont bevat afgeloogde kwartskorrels, die onderaan een zeer dunne E (ca. 1 cm dik) vormen. De podzol B horizont is weinig duidelijk, heeft een bruine kleur en gaat geleidelijk over tot het C materiaal. Deze profielontwikkeling komt voor op bodems die oorspronkelijk geen profieldifferentiatie vertoonden, maar ze wordt ook aangetroffen in het E materiaal van de grijsbruine podzolachtige bodems polysequumprofiel.

¹ Baevens 1975: 58-59.

² Baeyens 1975: 59.

³ Baeyens 1975: 62.

In een verder stadium degradeert en podzoliseert de bruine podzolachtige bodem tot een profiel met gebleekte E en duidelijke podzol B horizont. Een primaire podzol vormt zich uit een regosol (zonder profielfifferentiatie) via een bruine podzolachtige bodem. In vele gevallen ontwikkelt zich een duidelijke podzol boven de relikten van een verbrokkelde textuur B horizont. De Bt resten verkitten tot harde B vlekken. Er vormt zich een prepodzol en daarna een typische podzol.

In natte omstandigheden vormt zich een *hydromorfe humuspodzol*:

- O+A₁** strooisellaag + dunne humusinfiltratiehorizont,
- E** uitgeloopte horizont; grijs tot lichtgrijs (10YR 5-7/1; los; 10-20 cm dik; geleidelijke overgang,
- B₁** overgangshorizont tussen uitgeloopte en aangerijkte horizonten; donker grijsbruin (10YR 4/2), paarsgrijs (7,5YR 6/2) of donkerbruin (7,5YR 4/2); veel afgeloopde korrels; massief tot éénkorrelig; 5-10 cm dik; geleidelijke overgang,
- B₂h₁** humusaanrijkingshorizont; donkerbruin tot donker roodbruin (5-10YR 3-2/2); structuurloos, massief; openwrijfbaar tot vast; subhorizontale, donkere bandjes; 30-50 cm dik; geleidelijke of diffuse overgang,
- B₃h** humusaanrijkingshorizont; geleidelijk verblekend naar onder.

In intermediaire omstandigheden van vochtigheid, of wanneer in de ondergrond een fijner substraat voorkomt, waardoor de doorlatendheid van het profiel vermindert, is de B₂h horizont minder diep ontwikkeld en vormt zich een min of meer sterk roestige Cg horizont⁴.

2.3.1.2 Gronden met diepe antropogene humus A horizont zijn plaggenbodems. Het zijn bodems met dikke (> 60 cm) humeuze bovengrond, die ontstaan is door het eeuwenlang gebruik van plaggenmest, dat behalve organisch materiaal ook een zekere hoeveelheid minerale bestanddelen bevat. Hierdoor werden de cultuurgronden geleidelijk opgehoogd. Er werd vastgesteld dat, tenminste bij een gedeelte van die gronden, een eolische zandaanvoer plaatsgreep gedurende de incultuurname, zodat de ophoging op die plaatsen slechts gedeeltelijk aan de menselijke invloed te wijten is⁵.

2.3.2 Terreinwaarnemingen

Ondanks het relatief grote oppervlak van de het projectgebied is er weinig bodemvariabiliteit (fig. 10). De matig natte en natte humuspodzolen (Sdg3, Seg3) staan tegenover de matig droge antropogene humus A bodems (Scm).

Daarom werd er slechts één referentieprofiel geselecteerd (fig. 11). De complexiteit van de ploeglaag komt hier goed tot uiting.

Deze is ongeveer 40 tot 45 cm dik en is verder onder te verdelen:

1. een Ap₁ van 30 cm dik (1) die het gevolg is van regelmatig ploegen. De rechte ondergrens is daarvan een bepalend kenmerk,
2. daaronder de Ap₂ van ca. 10 cm dik (2) die veel heterogener is en ook van kleur verschilt,
3. helemaal onderaan restanten van de gebroken Bh horizont, de Ap₃ (3).

⁴ Baeyens 1975: 25-26.

⁵ Baeyens 1975: 26.



Fig. 10: De ligging van het referentieprofiel.

Onder de humeuze bovengrond bevindt zich een verweringshorizont (4) die plotseling overgaat in de C horizont (5). Daarin komen een aantal banden voor die nogal golvend verlopen (6). Mogelijk, maar niet zeker, zijn het humeuze banden die zich onder hydromorfe omstandigheden gevormd hebben. In de C horizont zijn ook enkele bioturbaties, mogelijk kevergangen, aanwezig.

Tijdens het proefsleuvenonderzoek werden ook twee boringen verricht op een perceel met naald- en loofbomen. De resultaten van de boringen zijn gelijkaardig met de profielen over de rest van het terrein (fig. 12), namelijk een diepe humeuze bovengrond die ligt op de BC horizont.

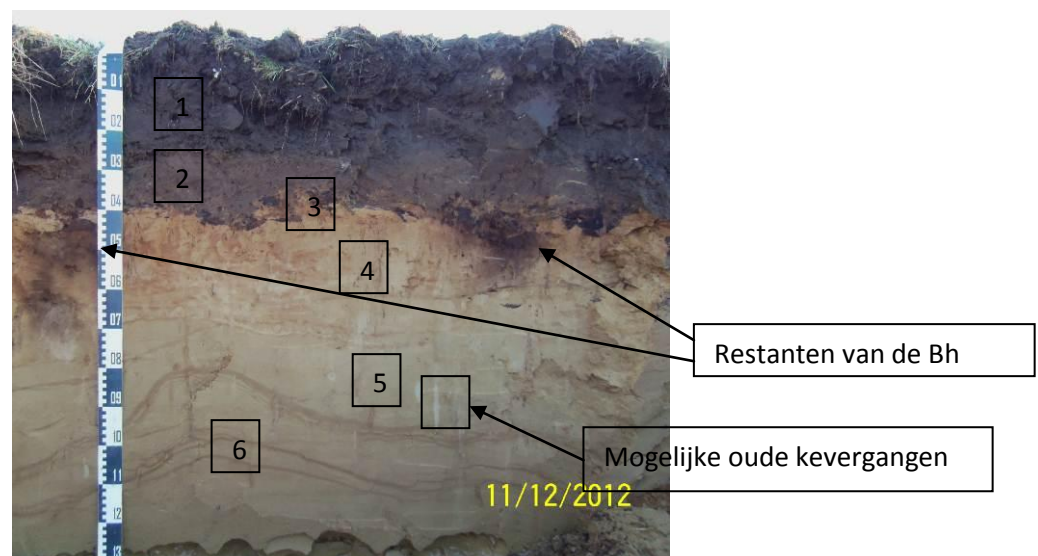


Fig. 11: Overzicht van het referentieprofiel.



Fig. 12: Resultaat van de twee boringen in het perceel met naald- en loofbomen.

2.3.3 Datering en vorming van de humeuze bovengrond

Vanuit geoarcheologisch perspectief is de aandacht voor de vorming (of genese) van de ploeglaag, het verband met de kartering, de datering ervan, de morfologie, de invloed op de archeologische sporen en als archeologische laag heel boeiend. In dit vooronderzoek kunnen deze summier besproken worden.

2.3.3.1 Datering

Voor de datering van de genese van de humeuze bovengrond kan de Ferrariskaart genomen worden. Daarop is te zien dat het gebied nog onder heide ligt. Dit laat toe om te stellen dat het gebied ontgonnen is na de 18^e eeuw⁶.

2.3.3.2 Genese

Voor de ontginning (fase 1) was er een podzol (fig. 13). Deze podzol werd machinaal of met de hand (spitten) gebroken en meermaals bewerkt (fase 2). Tijdens deze fase worden de Ap₂ en Ap₃ gevormd (fig. 14). De Ap₃ is eigenlijk een restant van het breken van de podzol. Er is achteraf nooit meer zo een diepe bewerking geweest. De Ap₂ getuigt van een langere periode van bewerking, een homogenisering van het profiel. Toch zijn er nog kleine aggregaten zichtbaar (enkele mm tot 1 cm). Ten slotte (fase 3) wordt er door langdurig ploegen in de Ap₂ een Ap₁ gecreeërd (fig. 15).

Deze kenmerkt zich door:

1. een dikte van ca. 30 – 35 cm,
2. een homogene, donkere kleur,
3. een scherpe rechte ondergrens en
4. aanzienlijk meer plantenwortels.

2.3.3.3 Kartering

Het karteren van deze gronden stelt enkele problemen. Aan de hand van (hand)boringen is helemaal geen onderscheid te maken tussen de diepe antropogene humus A horizont (...m) en dikke humeuze bovengrond (...3). Met andere woorden, de profielontwikkeling en de humusfase hebben dezelfde

⁶ Een uitgebreid cartografisch onderzoek kan hier meer uitsluitsel over bieden.

kenmerken. De genese van de humeuze bovengrond kan enkel achterhaald worden met een profielstudie.

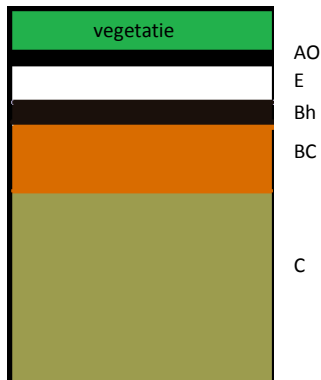


Fig. 13: Fase 1 (podzol)

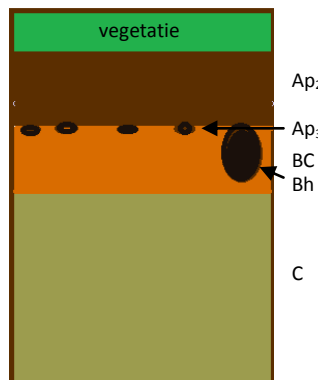


Fig. 14: Fase 2 (breken en bewerken)

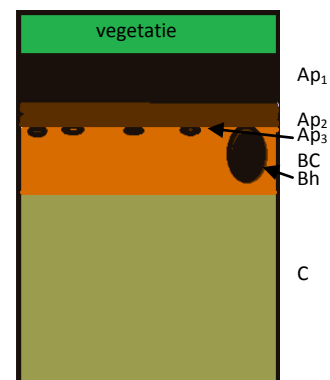


Fig. 15: Fase 3 (langdurig ploegen)

2.3.3.4 Morfologie

Morfologisch is het profiel moeilijk te onderscheiden van een plaggenbodem. Er is weinig of geen geoarcheologische vraagstelling omtrent de vorming en morfologie van dergelijke bodems. Op fig. 16 is een veronderstelde plaggenbodem te zien (Rijkevorsel-Wilgenstraat). Wil men een beter zicht krijgen op de genese van plaggenbodems en de kartering ervan, dan moet er in de toekomst meer systematisch slijpplatenonderzoek, dateringen en bodemanalyses uitgevoerd worden.



Fig. 16: Plaggenbodem te Rijkevorsel-Wilgenstraat.

2.3.3.5 Invloed op de archeologische sporen

De diepe bewerking heeft geen invloed gehad op de archeologische sporen zoals paalsporen, kuilen, waterputten, enz... Wel zijn de horizonten vernietigd waarin zich steentijd in situ zou kunnen bevinden.

2.4 Resultaten

Het bodemkundig onderzoek brengt zowel oplossingen (genese van de humeuze bovengrond) als nieuwe probleemstellingen (kartering en betrouwbaarheid). Gezien de gelijkvormigheid van de bodemprofielen over het hele gebied heeft een lange lijst van bodemprofielen voor een proefsleuvenonderzoek weinig zin. Beter is het een referentieprofiel te bestuderen en een kwalitatieve interpretatie toe te voegen. Dit om het belang te beklemtonen van het landschapsgenetisch aspect voor een mogelijk vervolgonderzoek.

De kartering van de fase met dikke humeuze bovengrond (40-60 cm) is moeilijk te onderscheiden van deze met diepe antropogene humus A horizont (plaggenbodem). De kartering door middel van twee boringen per hectare en het onvolledige zicht op het bodemprofiel liggen hier aan de oorsprong van. De menselijke ingrepen bleven beperkt tot net onder de Bh horizont, waardoor er weinig invloed was op de onderliggende sporen. Toch werden de A₁, E en Bh horizonten gemengd en gehomogeniseerd, waardoor eventuele steentijdvondsten in situ uit te sluiten zijn.

Dit onderzoeksgebied is dan ook een uniek voorbeeld van de invloed van min of meer recente ontginning op de landschapsvorming en het mogelijke effect op archeologische sporen.

Conform de opgelegde voorschriften werden sleuven aangelegd met een graafmachine op rupsbanden met een platte graafbak (FIG. 4). De sleuven waren 4 meter breed en 40 meter lang. Om een goede spreiding te krijgen over het terrein werden de verschillende rijen proefsleuven geschrinkt aangelegd. De afstand tussen de sleuven op dezelfde rij is 20 meter. De sleuven in het centrale gedeelte van het terrein zijn oost-west georiënteerd. De sleuven in het noordelijk en het zuidelijke deel van het projectgebied daarentegen zijn noord-zuid georiënteerd. Aan sleuf 6 en sleuf 14 werden kijkensters aangelegd. In overleg met Onroerend Erfgoed werd ook beslist een klein stuk van het projectgebied, dat momenteel nog onder bos is, niet door middel van proefsleuven te onderzoeken. Eventuele resultaten van de aangrenzende zones kunnen geëxtrapoleerd worden.



De aanwezige sporen werden opgeschaafd, gefotografeerd en beschreven. Alle sleuven, sporen en losse vondsten werden digitaal topografisch ingemeten.

Omwille van de winterse weeromstandigheden zijn de werkzaamheden enkele malen opgeschort. Een aantal sporen werden gecoupeerd om de diepte, aard en de bewaringstoestand ervan te achterhalen. Van de gecoupeerde sporen werden, indien antropogeen, digitale coupetekeningen gemaakt.

15

Hoofdstuk 4 Beschrijving van de sporen

In totaal werden 140 sporen opgetekend, waarvan in totaal 16 paalkuilen, 15 greppels en 4 kuilen. Verder zijn er ook 5 natuurlijke sporen en 5 recente verstoringen gedocumenteerd. De overige 95 opgetekende sporen houden verband met de reeds eerder beschreven bodemontginning (zie 2.3.3).

4.1 Paalkuilen en kuilen

De 16 paalkuilen (S29, S61-S63, S67-S70, S72, S80, S93, S101, S102, S123, S136 en S139) en 4 kuilen (S89, S125, S134 en S140) hebben alle een redelijk tot zeer scherpe aflijning en een vulling die zeer sterke gelijkenissen vertoond met de Ap₃; sterk gevlekt met een donkergrijze tot donkergrijs-zwarte hoofdkleur. Er zijn 8 van deze sporen gecoupeerd. Enkele van de paalsporen (S72, S80 en S101) bleken zeer ondiep bewaard. Er kan hier de vraag worden gesteld of deze sporen niet het restant zijn van de plaatselijk dieper bewaarde Ap₃. S29 en S63 hadden beide rechte wanden en een min of meer vlakke bodem. Het grootste paalspoor (S67, bijlage 7) was bewaard tot op een diepte van 80 cm en had eveneens een vlakke bodem, de randen liepen schuin naar binnen toe. Dit spoor had een sterk gelaagde en gevlekte vulling (fig. 18).



Fig. 8: Coupe van S67.

Ook de 4 kuilen (S89, S125, S134 en S140) waren redelijk tot zeer scherp afgelijnd en hadden een vulling die sterk deed denken aan de Ap₃. S89 en S125 hadden beide een komvormig profiel. Naast S29 en S67 werden kijkvensters aangelegd om te zien of deze paalsporen deel uitmaakten van een plattegrond. Er werden echter geen nieuwe archeologische sporen aangetroffen in deze kijkvensters.

4.2 Greppels

Op het terrein zijn er 15 greppels aangetroffen. De aflijning van deze sporen was zeer variabel en de vulling was sterk gevlekt met een donkere hoofdkleur. Enkel greppel S4 had een redelijk homogene, lichtgrijze vulling.

Alle greppels zijn noord-zuid of oost-west georiënteerd. Enkel S4 is noordwest-zuidoost georiënteerd. Enkele greppels (S1, S6, S12 en S127) liggen op een huidige perceelsgrens, de overige liggen parallel aan de huidige perceelsgrenzen.

Greppels S10 en S65 (fig. 19) tonen beide een komvormige bodem in de coupe en een sterk gelaagde en gevlekte vulling.



Fig. 59: Coupe van spoor 65.

4.3 Bodemontginning

De overige sporen (S2, S3, S5, S8, S9, S16-S23, S26-S28, S30, S32, S34-S36, S38-S42, S46-S48, S50-S57, S59, S60, S66, S71, S73-S79, S81-S88, S90-S92, S94-S100, S103-S122, S124, S126, S128-S133) die zijn aangetroffen, houden verband met de ontginning van het heidegebied. Deze sporen verschillen sterk van grootte en vorm maar hebben alle een scherpe tot zeer scherpe aflijning en een sterk gevlekte, donkere vulling die sterk lijkt op de Ap₃. Bij het couperen van enkele van deze sporen bleken ze niet diep bewaard.

4.4 Datering van de sporen en evaluatie

Tijdens het proefsleuvenonderzoek zijn er geen archeologische artefacten aangetroffen. Het dateren van de aanwezige sporen is dan ook moeilijk. Alle antropogene sporen hebben vullingen die sterk gelijken op de ploeglagen Ap_1 , Ap_2 en Ap_3 die te linken zijn aan de omzetting van heide naar landbouwgrond. Rekening houdend met het feit dat het huidige projectgebied nog heide was ten tijde van de Ferrariskaart (1771-1778), kan dus worden gesteld dat alle sporen dateren van na 1771.

Er zijn 2 mogelijke verklaringen voor het gebrek aan archeologische sporen. De eerste verklaring is dat de sporen zijn weggegraven door de ontginning van de heide. Bij de ontginning van de heidegrond heeft men op bepaalde plekken vrij diep gegraven. De ontginningsporen waren zichtbaar op verscheidene plaatsen in het archeologisch vlak.

De tweede en meest waarschijnlijke verklaring is dat er zich nooit archeologische sporen hebben bevonden op het terrein, aangezien het hier gaat om vrij natte bodems (afwateringsklasse c, d en e op de bodemkaart). Dit was zeer goed te merken op het terrein bij de aanleg van de sleuven en vooral bij het couperen van de sporen. Hierdoor zal de mens in het verleden (tot vrij lang nog) deze gronden niet intensief gebruikt of ontgonnen. Drogere plaatsen werden immers verkozen om te bouwen en andere activiteiten te ondernemen.

Hoofdstuk 5 Besluit

Conform art. 4 § 2 van het Decreet houdende Bescherming van het Archeologisch Patrimonium van 30 juni 1993 (B.S. 15.09.1993), gewijzigd bij decreet van 18 mei 1999 (B.S. 08.06.1999), 28 februari 2003 (B.S. 24.03.2003), 10 maart 2006 (B.S. 7.6.2006), 27 maart 2009 (B.S. 15.5.2009) en 18 november 2011 (B.S. 13.12.2011) zijn de eigenaar en de gebruiker ertoe gehouden de archeologische monumenten die zich op hun gronden bevinden te bewaren en te beschermen en ze voor beschadiging en vernieling te behoeden.

Daarom werd een archeologisch vooronderzoek gevraagd om de archeologische potentie van het terrein in te schatten.

Tijdens het vooronderzoek werd vastgesteld dat er zich geen relevante archeologische sporen bevonden op het terrein. Alle sporen die zijn aangetroffen, zijn vermoedelijk niet ouder dan 200 jaar en de meeste sporen houden verband met de omzetting van heide naar landbouwgrond. De overige sporen houden waarschijnlijk verband met landbouwactiviteiten.

Daarom lijkt een verder archeologisch onderzoek niet verantwoord. Het officieel vrijgeven van het terrein gebeurt door Onroerend Erfgoed.

Ondanks het vrijgeven van het terrein blijven de algemene bepalingen die voorzien zijn in:

- het decreet van 30 juni 1993 houdende bescherming van het archeologisch patrimonium, gewijzigd bij de decreten van 18 mei 1999, 28 februari 2003, 10 maart 2006, 27 maart 2009 en 18 november 2011 (BS 08.06.1999, 24.03.2003, 07.06.2006, 15.5.2009 en 13.12.2011)
- en het besluit van de Vlaamse regering van 20 april 1994 tot uitvoering van het decreet van 30 juni 1993 houdende de bescherming van het archeologisch patrimonium, gewijzigd bij besluiten van de Vlaamse Regering van 12 december 2003, 23 juni 2006, 9 mei 2008, 4 december 2009, 1 april 2011 en 10 juni 2011

van toepassing, meer bepaald voor de bepalingen over de meldingsplicht van eventuele toevalsvondsten tijdens het verdere verloop van de werken.

Bibliografie

Baeyens L. 1975: *Bodemkaart van België. Verklarende tekst bij het kaartblad Kasterlee 30 E*, Brussel.

Baeyens L. 1970: *Kaartblad Kasterlee 30 E., 1:20.000*, Brussel.

Bogemans F. 2005: *Legende overzichtskaart Quartairgeologie Vlaanderen*, Brussel.

Van Ranst E. & Sys C. 2000: *Eenduidige legende voor de digitale bodemkaart van Vlaanderen (schaal 1:20.000)*, Brussel.

Bijlagen

Bijlage 1 Sporeninventaris

| Sp | WP | Aard | Vorm | Aflijning | Kleur | Textuur | Bijmenging | Afmetingen |
|----|----|-----------------|--------------|-----------|--------------------------------|----------|------------|------------|
| 1 | 1 | Greppel | Langwerpig | ReD | DBr | ZeZaLo Z | HK | x50x |
| 2 | 1 | Bodemontginning | Trapezium | ReS | DBr-Zw | ZeZaLo Z | | 42x43x |
| 3 | 2 | Bodemontginning | | ReS | DBr-Gl | ZeZaLo Z | | 45x41x |
| 4 | 2 | Greppel | Langwerpig | ReD | LGr | ZeZaLo Z | | x98x |
| 5 | 3 | Bodemontginning | Onregelmatig | | DBr-Zw | ZeZaLo Z | | 75x60x |
| 6 | 3 | Greppel | Langwerpig | ZeS | | ZeZaLo Z | | |
| 7 | 3 | Natuurlijk | Onregelmatig | ReD | LGr | ZeZaLo Z | | 100x67x |
| 8 | 3 | Bodemontginning | | ReD | DBr-Gl | ZeZaLo Z | | 50x60x |
| 9 | 4 | Bodemontginning | Langwerpig | ReD | LBr m. DBr-Gr vl. | ZeZaLo Z | HK | 60xXx |
| 10 | 4 | Greppel | Langwerpig | ReS | DGr m. DBr en LGl-Wt vl. | ZeZaLo Z | HK | 100xXx |
| 11 | 4 | Greppel | Langwerpig | Var | DGr m. LGr-Wt en Br vl. | ZeZaLo Z | HK | 140xXx |
| 12 | 4 | Greppel | Langwerpig | Var | DGr m. LGr-Wt en Br vl. | ZeZaLo Z | HK | 140xXx |
| 13 | 5 | Natuurlijk | Ovaal | ZeD | LGr | ZeZaLo Z | HK | 60x55x |
| 14 | 5 | Natuurlijk | Ovaal | ReD | DGr-Gr m. LGr | ZeZaLo Z | HK | 55x55x |
| 15 | 5 | Greppel | Langwerpig | Var | DBr-Gr m. LGr-Wt vl. | ZeZaLo Z | HK | 35x400x |
| 16 | 5 | Bodemontginning | Rechthoekig | Var | DBr-Gr | ZeZaLo Z | HK | 30x40x |
| 17 | 5 | Bodemontginning | Ovaal | ReD | LBr m. LGr vl. | ZeZaLo Z | HK | 20x28x |
| 18 | 5 | Bodemontginning | Rechthoekig | Var | DBr-Gr | ZeZaLo Z | HK | 20x35x |
| 19 | 5 | Bodemontginning | Rechthoekig | Var | DBr-Gr | ZeZaLo Z | HK | 20x35x |
| 20 | 5 | Bodemontginning | Rechthoekig | Var | DBr-Gr | ZeZaLo Z | HK | 20x35x |
| 21 | 5 | Bodemontginning | Rechthoekig | Var | DBr-Gr | ZeZaLo Z | HK | 20x35x |
| 22 | 5 | Bodemontginning | Rechthoekig | Var | DBr-Gr | ZeZaLo Z | HK | 20x35x |
| 23 | 5 | Bodemontginning | Cirkel | ReS | DGr m. DBr-Gl en LGr-Wt vl. | ZeZaLo Z | HK | 55x64x |
| 24 | 5 | Greppel | Langwerpig | Var | DGr-Br m. LGr-Wt vl. | ZeZaLo Z | HK | 100x400x |
| 25 | 5 | Greppel | Langwerpig | Var | DGr m. LGl-Wt vl. | ZeZaLo Z | HK | 46x400x |
| 26 | 6 | Bodemontginning | Vierkantig | Var | DBr-Br m. LGr-Br en LGl-Wt vl. | ZeZaLo Z | HK | 120x140x |
| 27 | 6 | Bodemontginning | Vierkantig | Var | DBr-Br m. LGr-Br en LGl-Wt vl. | ZeZaLo Z | HK | 120x140x |
| 28 | 6 | Bodemontginning | Vierkantig | Var | DBr-Br m. LGr-Br en LGl-Wt vl. | ZeZaLo Z | HK | 120x140x |
| 29 | 6 | Paalkuil | Ovaal | Var | Gr-Br m. LGl-Br vl. | ZeZaLo Z | HK | 30x43x |
| 30 | 6 | Bodemontginning | Cirkel | Var | DBr-Gr | ZeZaLo Z | HK | 160x237x |
| 31 | 7 | Greppel | Langwerpig | Var | LGr-Gr m. DGr-Zw | ZeZaLo Z | HK | 28x200x |
| 32 | 7 | Bodemontginning | Cirkel | Var | DGr-Br m. LGl-Br vl. | ZeZaLo Z | | 105x86x |
| 33 | 7 | Greppel | Langwerpig | Var | DGr-Zw m. Br-Gl vl. | ZeZaLo Z | | 114x200x |
| 34 | 7 | Bodemontginning | Rechthoekig | Var | DGr-Br m. LGl-Br vl. | ZeZaLo Z | | 105x86x |
| 35 | 7 | Bodemontginning | Rechthoekig | Var | LGl-Br m. DGr-Zw vl. | ZeZaLo Z | HK | 58x80x |

Het archeologisch vooronderzoek aan de Dijkstraat te Kasterlee

| Sp | WP | Aard | Vorm | Aflijning | Kleur | Textuur | Bijmenging | Afmetingen |
|----|----|--------------------|--------------|-----------|--------------------------------|----------|------------|------------|
| 36 | 7 | Bodemontginning | Rechthoekig | Var | DGr-Zw m. LGr-Br vl. | ZeZaLo Z | HK | 347x100x |
| 37 | 7 | | | | | | | |
| 38 | 8 | Bodemontginning | Vierkantig | Var | LGr-Gr m. DGr-Gl vl. | ZeZaLo Z | | 22x24x |
| 39 | 8 | Bodemontginning | Onregelmatig | Var | LBr-Br m. DBr-Gr vl. | ZeZaLo Z | HK | 43x37x |
| 40 | 8 | Bodemontginning | Onregelmatig | Var | LBr-Br m. DGr-Br vl. | ZeZaLo Z | HK | 28x43x |
| 41 | 8 | Bodemontginning | Rechthoekig | Var | LGr-Gl m. DGr vl. | ZeZaLo Z | HK | 25x32x |
| 42 | 8 | Bodemontginning | Ovaal | Var | DGr-Br m. LGr-Gl vl. | ZeZaLo Z | HK | 38x53x |
| 43 | 8 | Greppel | Langwerpig | Var | DBr-Gr m. LGr-Br vl. | ZeZaLo Z | HK | 37x342x |
| 44 | 8 | Greppel | Langwerpig | Var | DBr-Gr m. LGr-Br vl. | ZeZaLo Z | HK | 37x342x |
| 45 | 8 | Natuurlijk | Onregelmatig | Var | DGr | ZeZaLo Z | HK | 132x56x |
| 46 | 9 | Bodemontginning | Onregelmatig | Var | DGr-Br m. LGr-Gl vl. | ZeZaLo Z | HK | 25x27x |
| 47 | 9 | Bodemontginning | Onregelmatig | Var | DGr-Br m. LGr-Gl vl. | ZeZaLo Z | HK | 25x27x |
| 48 | 9 | Bodemontginning | Onregelmatig | Var | DGr-Br m. LGr-Gl vl. | ZeZaLo Z | HK | 25x27x |
| 49 | 9 | Recente verstoring | Onregelmatig | Var | DGr-Br m. LGr-Gl vl. | ZeZaLo Z | HK | 25x27x |
| 50 | 9 | Bodemontginning | Onregelmatig | Var | DGr-Br m. LGr-Gl vl. | ZeZaLo Z | HK | 25x27x |
| 51 | 9 | Bodemontginning | Rechthoekig | Var | LGr-Br m. DGr-Br vl. | ZeZaLo Z | HK | 42x34x |
| 52 | 9 | Bodemontginning | Rechthoekig | Var | LGr-Br m. DGr-Br vl. | ZeZaLo Z | HK | 42x34x |
| 53 | 10 | Bodemontginning | Langwerpig | ZeS | DGr-Br m. LGr-Br vl. | ZeZaLo Z | HK | 35x146x |
| 54 | 10 | Bodemontginning | Ovaal | Var | LBr-Gr m. Br-Gl vl. | ZeZaLo Z | HK | 36x15x |
| 55 | 10 | Bodemontginning | Onregelmatig | Var | LBr-Gr m. Br-Gl vl. | ZeZaLo Z | HK | 36x15x |
| 56 | 10 | Bodemontginning | Langwerpig | ReS | DBr-Gr m. LGr-Gl vl. | ZeZaLo Z | HK | 4000x65x |
| 57 | 11 | Bodemontginning | Langwerpig | Var | DGr-Zw m. LBr-Gr en DGr-Br vl. | ZeZaLo Z | HK | 100x3500x |
| 58 | 11 | Natuurlijk | Ovaal | ReD | DGr | ZeZaLo Z | | 116x46x |
| 59 | 11 | Bodemontginning | Rechthoekig | Var | DGr-Br m. LGr-Wt en LBr-Gr vl. | ZeZaLo Z | HK | 186x430x |
| 60 | 11 | Bodemontginning | Rechthoekig | Var | DGr-Br m. LGr-Wt en LBr-Gr vl. | ZeZaLo Z | HK | 186x430x |
| 61 | 12 | Paalkuil | Ruitvormig | ReS | DGr-Br | ZeZaLo Z | HK | 20x20x |
| 62 | 12 | Paalkuil | Vierkantig | ReS | DGr-Br | ZeZaLo Z | HK | 20x20x |
| 63 | 12 | Paalkuil | Onregelmatig | ReS | DGr-Br | ZeZaLo Z | HK | 35x39x |
| 64 | 12 | Bodemontginning | Langwerpig | Var | DGr-Zw m. LGr-Br en LGr-Br vl. | ZeZaLo Z | HK | 400x118x |
| 65 | 13 | Greppel | Langwerpig | Var | DGr-Br m. LGr-Gl en LGr-Br vl. | ZeZaLo Z | HK | |
| 66 | 13 | Bodemontginning | Onregelmatig | Var | DGr-Br m. LBr-Gl en LGr-Br vl. | ZeZaLo Z | HK | |
| 67 | 14 | Paalkuil | Cirkel | Var | DGr-Br m. LGr- | ZeZaLo Z | HK | 65x65x |

| Sp | WP | Aard | Vorm | Aflijning | Kleur | Textuur | Bijmenging | Afmetingen |
|----|----|-----------------|--------------|-----------|--------------------------------|----------|------------|------------|
| | | | | | Gl en LBr-Gr vl. | | | |
| 68 | 14 | Paalkuil | Rechthoekig | ReS | DGr-Zw m. LGr-Gl en LGr-Br vl. | ZeZaLo Z | HK | 28x23x |
| 69 | 14 | Paalkuil | Rechthoekig | ReS | DGr-Zw m. LGr-Gl en LGr-Br vl. | ZeZaLo Z | HK | 28x23x |
| 70 | 14 | Paalkuil | Vierkantig | ReS | DGr-Zw m. LGr-Gl en LGr-Br vl. | ZeZaLo Z | HK | 15x15x |
| 71 | 14 | Bodemontginning | Vierkantig | ReS | DGr-Zw m. LGr-Gl en LGr-Br vl. | ZeZaLo Z | HK | 15x15x |
| 72 | 14 | Paalkuil | Vierkantig | ReS | DGr-Zw m. LGr-Gl en LGr-Br vl. | ZeZaLo Z | HK | 15x15x |
| 73 | 14 | Bodemontginning | Vierkantig | ReS | DGr-Zw m. LGr-Gl en LGr-Br vl. | ZeZaLo Z | HK | 38x37x |
| 74 | 14 | Bodemontginning | Vierkantig | ReS | DGr-Zw m. LGr-Gl en LGr-Br vl. | ZeZaLo Z | HK | 20x21x |
| 75 | 14 | Bodemontginning | Rechthoekig | ReS | DGr-Zw m. LGr-Gl en LGr-Br vl. | ZeZaLo Z | HK | 20x35x |
| 76 | 14 | Bodemontginning | Rechthoekig | ReS | DGr-Zw m. LGr-Gl en LGr-Br vl. | ZeZaLo Z | HK | 20x17x |
| 77 | 14 | Bodemontginning | Onregelmatig | ReS | DGr-Zw m. LGr-Gl en LGr-Br vl. | ZeZaLo Z | HK | 20x25x |
| 78 | 14 | Bodemontginning | Vierkantig | ReS | DGr-Zw m. LGr-Gl en LGr-Br vl. | ZeZaLo Z | HK | 20x20x |
| 79 | 14 | Bodemontginning | Rechthoekig | ReS | DGr-Zw m. LGr-Gl en LGr-Br vl. | ZeZaLo Z | HK | 20x40x |
| 80 | 14 | Paalkuil | Onregelmatig | ReS | DGr-Zw m. LGr-Gl en LGr-Br vl. | ZeZaLo Z | HK | 20x28x |
| 81 | 14 | Bodemontginning | Onregelmatig | ReS | DGr-Zw m. LGr-Gl en LGr-Br vl. | ZeZaLo Z | HK | 31x38x |
| 82 | 14 | Bodemontginning | Rechthoekig | ReS | DGr-Zw m. LGr-Gl en LGr-Br vl. | ZeZaLo Z | HK | 15x10x |
| 83 | 14 | Bodemontginning | Rechthoekig | ReS | DGr-Zw m. LGr-Gl en LGr-Br vl. | ZeZaLo Z | HK | 18x13x |
| 84 | 14 | Bodemontginning | Vierkantig | ReS | DGr-Zw m. LGr-Gl en LGr-Br vl. | ZeZaLo Z | HK | 10x1312x |
| 85 | 14 | Bodemontginning | Vierkantig | ReS | DGr-Zw m. LGr-Gl en LGr-Br vl. | ZeZaLo Z | HK | 10x1312x |
| 86 | 14 | Bodemontginning | Vierkantig | ReS | DGr-Zw m. LGr-Gl en LGr-Br vl. | ZeZaLo Z | HK | 20x20x |
| 87 | 14 | Bodemontginning | Vierkantig | ReS | DGr-Zw m. LGr-Gl en LGr-Br vl. | ZeZaLo Z | HK | 38x42x |
| 88 | 14 | Bodemontginning | Vierkantig | ReS | DGr-Zw m. LGr-Gl en LGr-Br vl. | ZeZaLo Z | HK | 15x4217x |
| 89 | 14 | Kuil | Rechthoekig | ReS | DGr-Zw m. LGr-Gl en LGr-Br vl. | ZeZaLo Z | HK | 43x49x |
| 90 | 14 | Bodemontginning | Cirkel | ReS | DGr-Zw m. LGr-Gl en LGr-Br vl. | ZeZaLo Z | HK | 16x16x |
| 91 | 14 | Bodemontginning | Rechthoekig | ReS | DGr-Zw m. LGr-Gl en LGr-Br vl. | ZeZaLo Z | HK | 27x36x |
| 92 | 14 | Bodemontginning | Rechthoekig | ReS | DGr-Zw m. LGr-Gl en LGr-Br vl. | ZeZaLo Z | HK | 22x28x |
| 93 | 14 | Paalkuil | Rechthoekig | ReS | DGr-Zw m. LGr-Gl en LGr-Br vl. | ZeZaLo Z | HK | 22x28x |
| 94 | 14 | Bodemontginning | Vierkantig | ReS | DGr-Zw m. LGr-Gl en LGr-Br vl. | ZeZaLo Z | HK | 10x13x |
| 95 | 14 | Bodemontginning | Vierkantig | ReS | DGr-Zw m. LGr-Gl en LGr-Br vl. | ZeZaLo Z | HK | 14x13x |

Het archeologisch vooronderzoek aan de Dijkstraat te Kasterlee

| Sp | WP | Aard | Vorm | Aflijning | Kleur | Textuur | Bijmenging | Afmetingen |
|-----|----|-----------------|--------------|-----------|--------------------------------|----------|------------|------------|
| 96 | 14 | Bodemontginning | Vierkantig | ReS | DGr-Zw m. LGr-Gl en LGr-Br vl. | ZeZaLo Z | HK | 26x31x |
| 97 | 14 | Bodemontginning | Vierkantig | ReS | DGr-Zw m. LGr-Gl en LGr-Br vl. | ZeZaLo Z | HK | 26x31x |
| 98 | 14 | Bodemontginning | Onregelmatig | ReS | DGr-Zw m. LGr-Gl en LGr-Br vl. | ZeZaLo Z | HK | 26x43x |
| 99 | 14 | Bodemontginning | Rechthoekig | ReS | DGr-Zw m. LGr-Gl en LGr-Br vl. | ZeZaLo Z | HK | 32x54x |
| 100 | 14 | Bodemontginning | Onregelmatig | ReS | DGr-Zw m. LGr-Gl en LGr-Br vl. | ZeZaLo Z | HK | 32x54x |
| 101 | 14 | Paalkuil | Vierkantig | ReS | DGr-Zw m. LGr-Gl en LGr-Br vl. | ZeZaLo Z | HK | 22x21x |
| 102 | 14 | Paalkuil | Onregelmatig | ReS | DGr-Zw m. LGr-Gl en LGr-Br vl. | ZeZaLo Z | HK | 32x34x |
| 103 | 14 | Bodemontginning | Onregelmatig | ReS | DGr-Zw m. LGr-Gl en LGr-Br vl. | ZeZaLo Z | HK | 32x34x |
| 104 | 14 | Bodemontginning | Onregelmatig | ReS | DGr-Zw m. LGr-Gl en LGr-Br vl. | ZeZaLo Z | HK | 43x34x |
| 105 | 15 | Bodemontginning | Onregelmatig | Var | DGr-Br m. LGr-Gl en LGr-Br vl. | ZeZaLo Z | HK | 50x103x |
| 106 | 15 | Bodemontginning | Onregelmatig | Var | DGr-Br m. LGr-Gl en LGr-Br vl. | ZeZaLo Z | HK | 50x103x |
| 107 | 15 | Bodemontginning | Vierkantig | Var | DGr-Br m. LGr-Gl en LGr-Br vl. | ZeZaLo Z | HK | 38x42x |
| 108 | 15 | Bodemontginning | Vierkantig | Var | DGr-Br m. LGr-Gl en LGr-Br vl. | ZeZaLo Z | HK | 26x32x |
| 109 | 15 | Bodemontginning | Vierkantig | Var | DGr-Br m. LGr-Gl en LGr-Br vl. | ZeZaLo Z | HK | 26x32x |
| 110 | 15 | Bodemontginning | Rechthoekig | ReS | DGr-Br m. LGr-Gl en LGr-Br vl. | ZeZaLo Z | HK | 26x52x |
| 111 | 15 | Bodemontginning | Onregelmatig | ReS | DGr-Br m. LGr-Gl en LGr-Br vl. | ZeZaLo Z | HK | 42x87x |
| 112 | 15 | Bodemontginning | Vierkantig | ReS | DGr-Br m. LGr-Gl en LGr-Br vl. | ZeZaLo Z | HK | 42x87x |
| 113 | 16 | Bodemontginning | Rechthoekig | ReS | DGr m. LGr-Gl en LGr-Br vl. | ZeZaLo Z | HK | 24x43x |
| 114 | 16 | Bodemontginning | Onregelmatig | ReS | DGr-Zw m. LGr-Gl en LGr-Br vl. | ZeZaLo Z | HK | 46x57x |
| 115 | 16 | Bodemontginning | Rechthoekig | ReS | LGr-Br m. DGr-Zw en LGr-Gr vl. | ZeZaLo Z | HK | 46x54x |
| 116 | 16 | Bodemontginning | Rechthoekig | ReS | DGr m. LGr-Gl en LGr-Br vl. | ZeZaLo Z | HK | 32x38x |
| 117 | 16 | Bodemontginning | Rechthoekig | ReS | DGr m. LGr-Gl en LGr-Br vl. | ZeZaLo Z | HK | 26x43x |
| 118 | 16 | Bodemontginning | Rechthoekig | ReS | DGr m. LGr-Gl en LGr-Br vl. | ZeZaLo Z | HK | 26x43x |
| 119 | 16 | Bodemontginning | Vierkantig | ReS | DGr m. LGr-Gl en LGr-Br vl. | ZeZaLo Z | HK | 17x14x |
| 120 | 16 | Bodemontginning | Onregelmatig | ReS | DGr m. LGr-Gl en LGr-Br vl. | ZeZaLo Z | HK | 14x17x |
| 121 | 16 | Bodemontginning | Rechthoekig | ReS | DGr m. LGr-Gl en LGr-Br vl. | ZeZaLo Z | HK | 27x32x |
| 122 | 16 | Bodemontginning | Rechthoekig | ReS | DGr | ZeZaLo Z | HK | 27x32x |
| 123 | 16 | Paalkuil | Onregelmatig | ReS | DGr-Br m. DGr-Gl en LGr-Gl vl. | ZeZaLo Z | HK | 45x62x |
| 124 | 16 | Bodemontginning | Onregelmatig | Var | DGr m. LGr-Wt vl. | ZeZaLo Z | HK | 48x32x |

| Sp | WP | Aard | Vorm | Aflijning | Kleur | Textuur | Bijmenging | Afmetingen |
|-----|----|--------------------|--------------|-----------|--------------------------------|----------|----------------|------------|
| 125 | 17 | Kuil | Ovaal | ReS | DGr m. LBr-Gl vl. | ZeZaLo Z | HK | 73x63x |
| 126 | 17 | Bodemontginning | Cirkel | Var | Br-Gr m. LBr-Gl en DGr-Gl vl. | ZeZaLo Z | | 31x27x |
| 127 | 19 | Greppel | Langwerpig | ReS | DGr-Br m. LGl-Gr vl. | ZeZaLo Z | plastiek folie | 4000x200x |
| 128 | 20 | Bodemontginning | Rechthoekig | ReS | DGr-Zw m. LGr-Gl en LGl-Br vl. | ZeZaLo Z | HK | 350x800x |
| 129 | 21 | Bodemontginning | Langwerpig | ReS | DGr-Zw m. LGl-Br en LBr-Gr vl. | ZeZaLo Z | HK | 400x4000x |
| 130 | 23 | Bodemontginning | Vierkantig | ZeS | LGl m. DGr-Zw vl. | ZeZaLo Z | HK | 20x20x |
| 131 | 6 | Bodemontginning | Onregelmatig | ReS | DGr m. LGl-Wt vl. | ZeZaLo Z | HK | 26x15x |
| 132 | 6 | Bodemontginning | Onregelmatig | ReS | DGr m. LGl-Wt vl. | ZeZaLo Z | HK | 26x15x |
| 133 | 6 | Bodemontginning | Onregelmatig | ReS | DGr m. LGl-Wt vl. | ZeZaLo Z | HK | 26x15x |
| 134 | 36 | Kuil | Onregelmatig | ReS | DGr | ZeZaLo Z | Beton, HK | 120x50x |
| 135 | 36 | Recente verstoring | | | | | | |
| 136 | 36 | Paalkuil | Rechthoekig | ZeS | DGr m. LGr-Gl vl. | ZeZaLo Z | HK | 25x20x |
| 137 | 36 | Recente verstoring | | | | | | |
| 138 | 36 | Recente verstoring | | | | | | |
| 139 | 37 | Paalkuil | Vierkantig | ZeS | DGr | ZeZaLo Z | | 25x25x |
| 140 | 37 | Kuil | Rechthoekig | ZeS | DGr-Gr | ZeZaLo Z | HK | 54x35x |
| 141 | 38 | Recente verstoring | | | | | | |

Afkortingen:

Kleur:

L- Licht
D- Donker
Br Bruin
Gl Geel
Go Groen
Gr Grijs
Or Oranje
Rd Rood
Wt Wit
Zw Zwart
Bl Blauw
Pr Purper
Rz Roze

m met
vl vlekken
sp spikkels
Lg laagjes

Aflijning:

Re Redelijk
Ze Zeer
S Scherp
D Diffuus
Var Variabel
Nat Niet af te lijnen

Textuur:

Re Redelijk
Ze Zeer
Za Zacht
Ha Hard
Va Vast
Lo Los
Z Zand
L Leem
K Klei

Bijmenging:

Bio Bioturbatie
Glau Glauconiet
BC Bouwceramiek
HK Houtskool
Fe IJzerconcreties
FeZ IJzerzandsteen
Mg Mangaan
ZS Zandsteen
SK Steenkool

Bijlage 2 Fotoinventaris

| Fotonummer | Sleuf | Spoor | Aard |
|--------------|-------|--------|-----------|
| 2012-407-001 | 1 | | Overzicht |
| 2012-407-002 | 1 | | Overzicht |
| 2012-407-003 | 1 | 1 | Overzicht |
| 2012-407-004 | 1 | 2 | Vlak |
| 2012-407-005 | 1 | 2 | Vlak |
| 2012-407-006 | 1 | 3 | Vlak |
| 2012-407-007 | 1 | 3 | Vlak |
| 2012-407-008 | 1 | | Profiel |
| 2012-407-009 | 1 | | Profiel |
| 2012-407-010 | 2 | | Overzicht |
| 2012-407-011 | 2 | | Overzicht |
| 2012-407-012 | 2 | | Werk |
| 2012-407-013 | 2 | | Werk |
| 2012-407-014 | 2 | | Overzicht |
| 2012-407-015 | 2 | | Vlak |
| 2012-407-016 | 2 | | Vlak |
| 2012-407-017 | 2 | 4 | Vlak |
| 2012-407-018 | 2 | 4 | Vlak |
| 2012-407-019 | 2 | 4 | Vlak |
| 2012-407-020 | 2 | 4 | Vlak |
| 2012-407-021 | | | Werk |
| 2012-407-022 | | | Werk |
| 2012-407-023 | 2 | | Overzicht |
| 2012-407-024 | 2 | | Overzicht |
| 2012-407-025 | 3 | | Overzicht |
| 2012-407-026 | 3 | | Overzicht |
| 2012-407-027 | 3 | 5 | Vlak |
| 2012-407-028 | 3 | 5 | Vlak |
| 2012-407-029 | 3 | 7 | Vlak |
| 2012-407-030 | 3 | 7 | Vlak |
| 2012-407-031 | 3 | 8 en 6 | Vlak |
| 2012-407-032 | 3 | 8 en 6 | Vlak |
| 2012-407-033 | 1 | | Overzicht |
| 2012-407-034 | 4 | | Overzicht |
| 2012-407-035 | 4 | | Overzicht |
| 2012-407-036 | 4 | 9 | Vlak |
| 2012-407-037 | 4 | 9 | Vlak |
| 2012-407-038 | 4 | 10 | Vlak |
| 2012-407-039 | 4 | 10 | Vlak |

| Fotonummer | Sleuf | Spoor | Aard |
|--------------|-------|----------|-----------|
| 2012-407-040 | 4 | 11 en 12 | Vlak |
| 2012-407-041 | 4 | 11 en 12 | Vlak |
| 2012-407-042 | 5 | | Overzicht |
| 2012-407-043 | 5 | | Overzicht |
| 2012-407-044 | | | Werk |
| 2012-407-045 | 5 | 13 | Vlak |
| 2012-407-046 | 5 | 15 | Vlak |
| 2012-407-047 | 5 | 14 | Vlak |
| 2012-407-048 | 5 | 14 | Vlak |
| 2012-407-049 | 5 | 16 | Vlak |
| 2012-407-050 | 5 | 16 | Vlak |
| 2012-407-051 | 5 | 17 | Vlak |
| 2012-407-052 | 5 | 18 | Vlak |
| 2012-407-053 | 5 | 19 | Vlak |
| 2012-407-054 | 5 | 20 | Vlak |
| 2012-407-055 | 5 | 21 | Vlak |
| 2012-407-056 | 5 | 22 | Vlak |
| 2012-407-057 | 5 | 23 | Vlak |
| 2012-407-058 | 5 | 24 | Vlak |
| 2012-407-059 | 5 | 25 | Vlak |
| 2012-407-060 | 6 | | Overzicht |
| 2012-407-061 | 6 | | Overzicht |
| 2012-407-062 | 6 | 26 | Vlak |
| 2012-407-063 | 6 | 27 | Vlak |
| 2012-407-064 | 6 | 28 | Vlak |
| 2012-407-065 | 6 | 28 | Vlak |
| 2012-407-066 | 6 | 29 | Vlak |
| 2012-407-067 | 6 | 30 | Vlak |
| 2012-407-068 | 6 | 30 | Vlak |
| 2012-407-069 | 7 | | Overzicht |
| 2012-407-070 | 7 | 31 | Vlak |
| 2012-407-071 | 7 | 32 | Vlak |
| 2012-407-072 | 7 | 33 | Vlak |
| 2012-407-073 | 7 | 33 | Vlak |
| 2012-407-074 | 7 | 34 | Vlak |
| 2012-407-075 | 7 | 34 | Vlak |
| 2012-407-076 | 7 | 35 | Vlak |
| 2012-407-077 | 7 | 36 | Vlak |
| 2012-407-078 | 8 | | Overzicht |

| Fotonummer | Sleuf | Spoor | Aard |
|--------------|-------|----------|-----------|
| 2012-407-079 | 8 | 38 | Vlak |
| 2012-407-080 | 8 | 39 | Vlak |
| 2012-407-081 | 8 | 40 | Vlak |
| 2012-407-082 | 8 | 41 | Vlak |
| 2012-407-083 | 8 | 42 | Vlak |
| 2012-407-084 | 8 | 43 | Vlak |
| 2012-407-085 | 8 | 44 | Vlak |
| 2012-407-086 | 8 | 45 | Vlak |
| 2012-407-087 | 9 | | Overzicht |
| 2012-407-088 | 9 | 46 | Vlak |
| 2012-407-089 | 9 | 47 | Vlak |
| 2012-407-090 | 9 | 48 | Vlak |
| 2012-407-091 | 9 | 49 | Vlak |
| 2012-407-092 | 9 | 50 | Vlak |
| 2012-407-093 | 9 | 51 | Vlak |
| 2012-407-094 | 9 | 52 | Vlak |
| 2012-407-095 | 10 | | Overzicht |
| 2012-407-096 | | | Werk |
| 2012-407-097 | 10 | 53 en 54 | Vlak |
| 2012-407-098 | 10 | 53 en 54 | Vlak |
| 2012-407-099 | 10 | 55 | Vlak |
| 2012-407-100 | 10 | 56 | Vlak |
| 2012-407-101 | 10 | 56 | Vlak |
| 2012-407-102 | 11 | | Overzicht |
| 2012-407-103 | 11 | 57 | Vlak |
| 2012-407-104 | 11 | 57 | Vlak |
| 2012-407-105 | 11 | 58 | Vlak |
| 2012-407-106 | 11 | 59 | Vlak |
| 2012-407-107 | 11 | 60 | Vlak |
| 2012-407-108 | 12 | | Overzicht |
| 2012-407-109 | 12 | 61 | Vlak |
| 2012-407-110 | 12 | 61 | Vlak |
| 2012-407-111 | 12 | 62 | Vlak |
| 2012-407-112 | 12 | 62 | Vlak |
| 2012-407-113 | 12 | 63 | Vlak |
| 2012-407-114 | 12 | 64 | Vlak |
| 2012-407-115 | 13 | | Overzicht |
| 2012-407-116 | 13 | | Overzicht |
| 2012-407-117 | 13 | 65 | Vlak |
| 2012-407-118 | 13 | 65 | Vlak |
| 2012-407-119 | 13 | 66 | Vlak |

| Fotonummer | Sleuf | Spoor | Aard |
|--------------|-------|------------------|-----------|
| 2012-407-120 | 13 | 66 | Vlak |
| 2012-407-121 | 14 | | Overzicht |
| 2012-407-122 | 14 | | Overzicht |
| 2012-407-123 | 14 | | Overzicht |
| 2012-407-124 | 14 | | Overzicht |
| 2012-407-125 | 14 | | Overzicht |
| 2012-407-126 | 14 | 67 | Vlak |
| 2012-407-127 | 14 | 68 | Vlak |
| 2012-407-128 | 14 | 69 | Vlak |
| 2012-407-129 | 14 | 70 | Vlak |
| 2012-407-130 | 14 | 70 | Vlak |
| 2012-407-131 | 14 | 71 | Vlak |
| 2012-407-132 | 14 | 77 | Vlak |
| 2012-407-133 | 14 | 76 | Vlak |
| 2012-407-134 | 14 | 76 | Vlak |
| 2012-407-135 | 14 | 72 | Vlak |
| 2012-407-136 | 14 | 72 | Vlak |
| 2012-407-137 | 14 | 78 | Vlak |
| 2012-407-138 | 14 | 79 | Vlak |
| 2012-407-139 | 14 | 73 | Vlak |
| 2012-407-140 | 14 | 73 | Vlak |
| 2012-407-141 | 14 | 74 en 75 | Vlak |
| 2012-407-142 | 14 | 74 en 75 | Vlak |
| 2012-407-143 | 14 | 80 | Vlak |
| 2012-407-144 | 14 | 81, 82, 83 en 84 | Vlak |
| 2012-407-145 | 14 | 85, 86, 87 en 88 | Vlak |
| 2012-407-146 | 14 | 89, 90, 91 en 92 | Vlak |
| 2012-407-147 | 14 | 93, 94 en 95 | Vlak |
| 2012-407-148 | 14 | 96 | Vlak |
| 2012-407-149 | 14 | 97, 98 en 99 | Vlak |
| 2012-407-150 | 14 | 100 | Vlak |
| 2012-407-151 | 14 | 101 en 102 | Vlak |
| 2012-407-152 | 14 | 103 en 104 | Vlak |
| 2012-407-153 | 15 | | Overzicht |
| 2012-407-154 | 15 | 105 | Vlak |
| 2012-407-155 | 15 | 106 | Vlak |
| 2012-407-156 | 15 | 107 | Vlak |
| 2012-407-157 | 15 | 108 | Vlak |
| 2012-407-158 | 15 | 109 | Vlak |

| Fotonummer | Sleuf | Spoor | Aard |
|--------------|-------|-----------------|-----------|
| 2012-407-159 | 15 | 110 | Vlak |
| 2012-407-160 | 15 | 111 | Vlak |
| 2012-407-161 | 15 | 112 | Vlak |
| 2012-407-162 | 16 | | Overzicht |
| 2012-407-163 | 16 | 113 | Vlak |
| 2012-407-164 | 16 | 115 | Vlak |
| 2012-407-165 | 16 | 114 | Vlak |
| 2012-407-166 | 16 | 116, 117 en 118 | Vlak |
| 2012-407-167 | 16 | 119 en 120 | Vlak |
| 2012-407-168 | 16 | 121 | Vlak |
| 2012-407-169 | 16 | 122 | Vlak |
| 2012-407-170 | 16 | 123 | Vlak |
| 2012-407-171 | 16 | 124 | Vlak |
| 2012-407-172 | 17 | | Overzicht |
| 2012-407-173 | 17 | 125 | Vlak |
| 2012-407-174 | 17 | 126 | Vlak |
| 2012-407-175 | 18 | | Overzicht |
| 2012-407-176 | 19 | | Overzicht |
| 2012-407-177 | 19 | 127 | Vlak |
| 2012-407-178 | 20 | | Overzicht |
| 2012-407-179 | 20 | | Overzicht |
| 2012-407-180 | 20 | 128 | Vlak |
| 2012-407-181 | 20 | 128 | Vlak |
| 2012-407-182 | 21 | | Overzicht |
| 2012-407-183 | 21 | | Overzicht |
| 2012-407-184 | 21 | 129 | Vlak |
| 2012-407-185 | 22 | | Overzicht |
| 2012-407-186 | 23 | | Overzicht |
| 2012-407-187 | 23 | 130 | Vlak |
| 2012-407-188 | 24 | | Overzicht |
| 2012-407-189 | 24 | | Overzicht |
| 2012-407-190 | 23 | | Overzicht |
| 2012-407-191 | 23 | | Overzicht |
| 2012-407-192 | 23 | | Overzicht |
| 2012-407-193 | 23 | | Overzicht |
| 2012-407-194 | 1 | 2 | Coupe |
| 2012-407-195 | 1 | 2 | Coupe |
| 2012-407-196 | 6 | 29 | Coupe |
| 2012-407-197 | 6 | 29 | Coupe |
| 2012-407-198 | 6 | 29 | Coupe |
| 2012-407-199 | 10 | 55 | Coupe |

| Fotonummer | Sleuf | Spoor | Aard |
|--------------|-------|-------|-------|
| 2012-407-200 | 10 | 55 | Coupe |
| 2012-407-201 | 10 | 55 | Coupe |
| 2012-407-202 | 9 | 51 | Coupe |
| 2012-407-203 | 9 | 51 | Coupe |
| 2012-407-204 | 9 | 51 | Coupe |
| 2012-407-205 | 9 | 51 | Coupe |
| 2012-407-206 | 8 | 39 | Coupe |
| 2012-407-207 | 8 | 39 | Coupe |
| 2012-407-208 | 8 | 39 | Coupe |
| 2012-407-209 | 8 | 39 | Coupe |
| 2012-407-210 | 8 | 39 | Coupe |
| 2012-407-211 | 8 | 39 | Coupe |
| 2012-407-212 | 8 | 42 | Coupe |
| 2012-407-213 | 8 | 42 | Coupe |
| 2012-407-214 | 8 | 42 | Coupe |
| 2012-407-215 | 8 | 42 | Coupe |
| 2012-407-216 | 12 | 63 | Coupe |
| 2012-407-217 | 12 | 63 | Coupe |
| 2012-407-218 | 12 | 63 | Coupe |
| 2012-407-219 | 17 | 125 | Coupe |
| 2012-407-220 | 17 | 125 | Coupe |
| 2012-407-221 | 17 | 125 | Coupe |
| 2012-407-222 | 17 | 125 | Coupe |
| 2012-407-223 | 17 | 125 | Coupe |
| 2012-407-224 | 17 | 126 | Coupe |
| 2012-407-225 | 17 | 126 | Coupe |
| 2012-407-226 | 17 | 126 | Coupe |
| 2012-407-227 | 17 | 126 | Coupe |
| 2012-407-228 | 17 | 126 | Coupe |
| 2012-407-229 | 14 | 101 | Coupe |
| 2012-407-230 | 14 | 101 | Coupe |
| 2012-407-231 | 14 | 89 | Coupe |
| 2012-407-232 | 14 | 89 | Coupe |
| 2012-407-233 | 14 | 89 | Coupe |
| 2012-407-234 | 14 | 72 | Coupe |
| 2012-407-235 | 14 | 72 | Coupe |
| 2012-407-236 | 14 | 80 | Coupe |
| 2012-407-237 | 14 | 80 | Coupe |
| 2012-407-238 | 14 | 80 | Coupe |
| 2012-407-239 | 14 | 67 | Coupe |
| 2012-407-240 | 14 | 67 | Coupe |

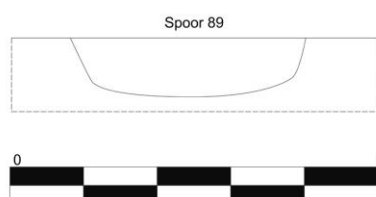
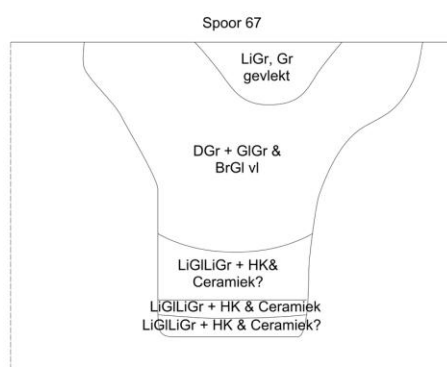
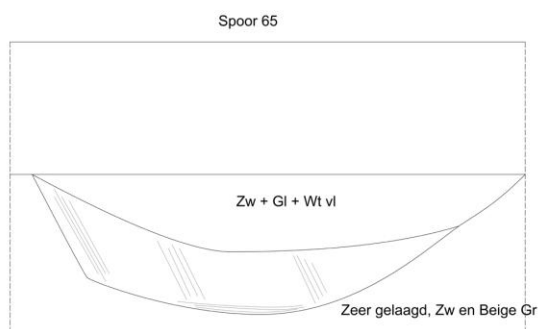
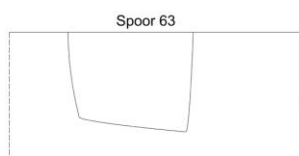
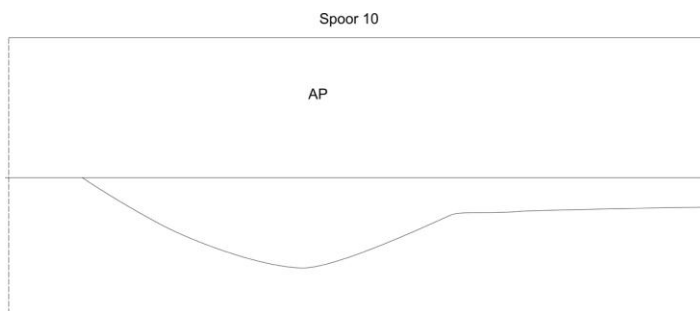
| Fotonummer | Sleuf | Spoor | Aard |
|--------------|-------|-------|-----------|
| 2012-407-241 | 14 | 67 | Coupe |
| 2012-407-242 | 14 | 81 | Coupe |
| 2012-407-243 | 14 | 81 | Coupe |
| 2012-407-244 | 14 | 81 | Coupe |
| 2012-407-245 | 14 | 81 | Coupe |
| 2012-407-246 | 15 | 111 | Coupe |
| 2012-407-247 | 15 | 111 | Coupe |
| 2012-407-248 | 15 | 109 | Coupe |
| 2012-407-249 | 15 | 109 | Coupe |
| 2012-407-250 | 15 | 105 | Coupe |
| 2012-407-251 | 15 | 105 | Coupe |
| 2012-407-252 | 15 | 105 | Coupe |
| 2012-407-253 | 15 | 105 | Coupe |
| 2012-407-254 | 16 | 116 | Coupe |
| 2012-407-255 | 16 | 116 | Coupe |
| 2012-407-256 | 16 | 116 | Coupe |
| 2012-407-257 | 16 | 122 | Coupe |
| 2012-407-258 | 16 | 122 | Coupe |
| 2012-407-259 | 16 | 121 | Coupe |
| 2012-407-260 | 16 | 121 | Coupe |
| 2012-407-261 | 16 | 121 | Coupe |
| 2012-407-262 | 1 | 5 | Coupe |
| 2012-407-263 | 1 | 5 | Coupe |
| 2012-407-264 | 1 | 5 | Coupe |
| 2012-407-265 | 4 | 10 | Coupe |
| 2012-407-266 | 4 | 10 | Coupe |
| 2012-407-267 | 4 | 10 | Coupe |
| 2012-407-268 | 4 | 10 | Coupe |
| 2012-407-269 | 4 | 10 | Coupe |
| 2012-407-270 | 4 | 65 | Coupe |
| 2012-407-271 | 4 | 65 | Coupe |
| 2012-407-272 | 4 | 65 | Coupe |
| 2012-407-273 | 14 | | Overzicht |
| 2012-407-274 | 14 | | Overzicht |
| 2012-407-275 | 6 | 131 | Vlak |
| 2012-407-276 | 6 | 132 | Vlak |
| 2012-407-277 | 6 | 133 | Vlak |
| 2012-407-278 | 6 | 133 | Vlak |
| 2012-407-279 | 6 | | Overzicht |
| 2012-407-280 | 6 | | Overzicht |
| 2012-407-281 | 25 | | Overzicht |

| Fotonummer | Sleuf | Spoor | Aard |
|--------------|-------|-------|-----------|
| 2012-407-282 | 26 | | Overzicht |
| 2012-407-283 | 27 | | Overzicht |
| 2012-407-284 | 27 | | Overzicht |
| 2012-407-285 | 28 | | Overzicht |
| 2012-407-286 | 28 | | Overzicht |
| 2012-407-287 | 29 | | Overzicht |
| 2012-407-288 | 30 | | Overzicht |
| 2012-407-289 | 31 | | Overzicht |
| 2012-407-290 | 32 | | Overzicht |
| 2012-407-291 | 33 | | Overzicht |
| 2012-407-292 | 34 | | Overzicht |
| 2012-407-293 | 35 | | Overzicht |
| 2012-407-294 | 36 | 134 | Vlak |
| 2012-407-295 | 36 | 136 | Vlak |
| 2012-407-296 | 36 | 136 | Vlak |
| 2012-407-297 | 36 | 135 | Vlak |
| 2012-407-298 | 36 | 135 | Vlak |
| 2012-407-299 | 36 | 137 | Vlak |
| 2012-407-300 | 36 | 138 | Vlak |
| 2012-407-301 | 36 | 138 | Vlak |
| 2012-407-302 | 36 | | Overzicht |
| 2012-407-303 | 37 | 139 | Vlak |
| 2012-407-304 | 37 | 139 | Vlak |
| 2012-407-305 | 37 | 140 | Vlak |
| 2012-407-306 | 37 | 140 | Vlak |
| 2012-407-307 | 37 | | Overzicht |
| 2012-407-308 | 37 | | Overzicht |
| 2012-407-309 | 38 | 141 | Vlak |
| 2012-407-310 | 38 | 141 | Vlak |
| 2012-407-311 | 38 | | Overzicht |
| 2012-407-312 | 39 | | Overzicht |
| 2012-407-313 | 40 | | Overzicht |
| 2012-407-314 | 41 | | Overzicht |
| 2012-407-315 | 42 | | Overzicht |
| 2012-407-316 | 43 | | Overzicht |
| 2012-407-317 | 44 | | Overzicht |
| 2012-407-318 | 45 | | Overzicht |
| 2012-407-319 | | | Werk |
| 2012-407-320 | | | Werk |
| 2012-407-321 | 46 | | Overzicht |
| 2012-407-322 | 47 | | Overzicht |

| Fotonummer | Sleuf | Spoor | Aard |
|--------------|-------|-------|-----------|
| 2012-407-323 | 48 | | Overzicht |
| 2012-407-324 | 49 | | Overzicht |
| 2012-407-325 | 50 | | Overzicht |
| 2012-407-326 | 50 | | Overzicht |
| 2012-407-327 | 51 | | Overzicht |
| 2012-407-328 | 52 | | Overzicht |
| 2012-407-329 | 53 | | Overzicht |
| 2012-407-330 | 54 | | Overzicht |
| 2012-407-331 | 54 | | Overzicht |
| 2012-407-332 | 55 | | Overzicht |
| 2012-407-333 | 55 | | Overzicht |
| 2012-407-334 | 56 | | Overzicht |
| 2012-407-335 | 57 | | Overzicht |
| 2012-407-336 | 58 | | Overzicht |
| 2012-407-337 | 59 | | Overzicht |
| 2012-407-338 | 60 | | Overzicht |
| 2012-407-339 | 60 | | Profiel |
| 2012-407-340 | 59 | | Profiel |
| 2012-407-341 | 58 | | Profiel |
| 2012-407-342 | 57 | | Profiel |
| 2012-407-343 | 56 | | Profiel |
| 2012-407-344 | 55 | | Profiel |
| 2012-407-345 | 54 | | Profiel |
| 2012-407-346 | 53 | | Profiel |
| 2012-407-347 | 52 | | Profiel |
| 2012-407-348 | 51 | | Profiel |
| 2012-407-349 | 50 | | Profiel |
| 2012-407-350 | 49 | | Profiel |
| 2012-407-351 | 48 | | Profiel |
| 2012-407-352 | 47 | | Profiel |
| 2012-407-353 | 46 | | Profiel |
| 2012-407-354 | 45 | | Profiel |
| 2012-407-355 | 44 | | Profiel |
| 2012-407-356 | 43 | | Profiel |
| 2012-407-357 | 42 | | Profiel |
| 2012-407-358 | 41 | | Profiel |
| 2012-407-359 | 40 | | Profiel |

| Fotonummer | Sleuf | Spoor | Aard |
|--------------|-------|-------|---------|
| 2012-407-360 | 39 | | Profiel |
| 2012-407-361 | 38 | | Profiel |
| 2012-407-362 | 36 | | Profiel |
| 2012-407-363 | 35 | | Profiel |
| 2012-407-364 | 34 | | Profiel |
| 2012-407-365 | 33 | | Profiel |
| 2012-407-366 | 32 | | Profiel |
| 2012-407-367 | 31 | | Profiel |
| 2012-407-368 | 30 | | Profiel |
| 2012-407-369 | 29 | | Profiel |
| 2012-407-370 | 28 | | Profiel |
| 2012-407-371 | 28 | | Profiel |
| 2012-407-372 | 27 | | Profiel |
| 2012-407-373 | 26 | | Profiel |
| 2012-407-374 | 25 | | Profiel |
| 2012-407-375 | 24 | | Profiel |
| 2012-407-376 | 22 | | Profiel |
| 2012-407-377 | 21 | | Profiel |
| 2012-407-378 | 20 | | Profiel |
| 2012-407-379 | 23 | | Profiel |
| 2012-407-380 | 19 | | Profiel |
| 2012-407-381 | 24 | | Profiel |
| 2012-407-382 | 18 | | Profiel |
| 2012-407-383 | 17 | | Profiel |
| 2012-407-384 | 16 | | Profiel |
| 2012-407-385 | 14 | | Profiel |
| 2012-407-386 | 15 | | Profiel |
| 2012-407-387 | 2 | | Profiel |
| 2012-407-388 | 3 | | Profiel |
| 2012-407-389 | 5 | | Profiel |
| 2012-407-390 | 8 | | Profiel |
| 2012-407-391 | 9 | | Profiel |
| 2012-407-392 | | | Werk |
| 2012-407-393 | 11 | | Profiel |

Bijlage 3 Coupetekeningen



Bijlage 4 Profielbeschrijving

1. Algemene gegevens

- | | |
|------------------------------|--|
| 1. Beschrijver: | Ludo Fockedey, Studie bureau Archeologie. |
| 2. Soort onderzoek: | Archeologisch: proefsleuven. |
| 3. Plaats: | Kasterlee - Dijkstraat. |
| 4. Hoogteligging: | 19 m TAW. |
| 5. Coördinaten: | 51°14'56.03"N ; 4°58'39.31"O. |
| 6. Datum: | dinsdag, 11.12.2012. |
| 7. Tijdstip: | 09:45 u. |
| 8. Landgebruik en vegetatie: | Gras, braak. |
| 9. Weersomstandigheden: | Zonnig, koud, -2°C. |
| 10. Oriëntatie: | WZW. |
| 11. Bodemeenheid: | Sdg3/Scm: matig natte lemig-zandgronden met duidelijke humus of/en ijzer B horizont met dikke humeuze bovengrond (...3)/ matig droge lemig-zandgronden met diepe antropogene humus A horizont. |

2. Profielbeschrijving

H1

0-30 cm: Ap1: lemig zand; zeer donkerbruin (10YR 2/2) tot zeer grijsachtig donkerbruin (10YR 3/2); kruimelig; veel plantenwortels; scherpe, rechte ondergrens,

H2

30-44 cm: Ap2: lemig zand; donkerbruin (10YR 3/3); massief; veel kleine brokken (Bh, Ao); scherpe, golvende ondergrens,

H3

44-50 cm: Ap3: lemig zand; kleur te variërend; massief; brokken Bh,Ao,BC; scherpe, golvende ondergrens,

H4

50-70 cm: BC: lemig zand; geelachtig donkerbruin (10YR 4/6) ; massief; hard; met Bh zakken in, zeer donkerbruin (7,5YR 2,5/2); diffuse, golvende ondergrens,

H5

70-130 cm: lemig zand; geelachtig bruin (10YR 5/4); massief; verschillende golvende humeuze? banden; enkele oude biogallerijen (kevergangen).

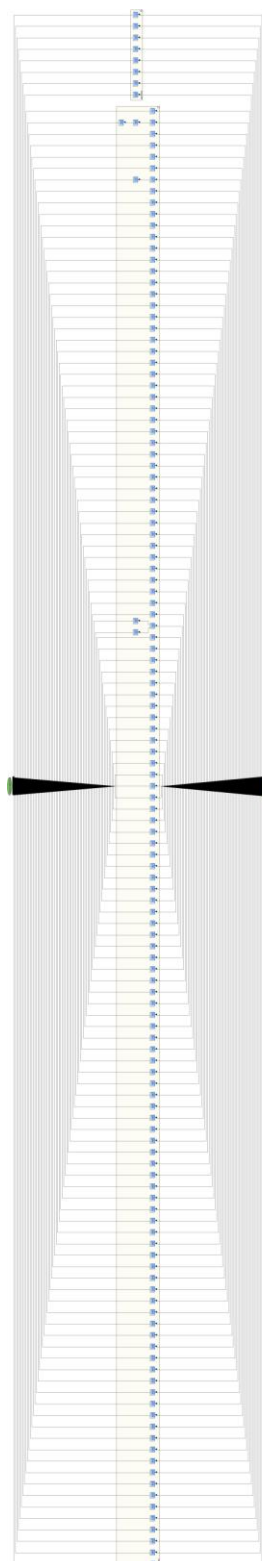
G(rond)W(ater)T(afel) : 130 cm.

Opmerking : interessant geval voor verschil tussen fase met dikke humeuze bovengrond (...3) en diepe antropogene humus A horizont (...m) (plaggen).

3. Foto



Bijlage 5 Harrismatrix



Bijlage 6 Verklarende woordenlijst

(Bodem)horizont: Een laag die gevormd werd door bodemvormende processen (de ploeglaag is hierop de uitzondering)

Profiel differentië: De verschillende ontwikkelingen die eenzelfde profiel kan ondergaan onder verschillende omstandigheden.

In deze context (Regosol) wordt een profiel zonder horizonten bedoeld. Hoe meer horizonten, hoe groter de differentië.

Limonietbanken: limoniet is een mineraal, gevormd in ondiepe zeeën, lagunes of moerassen. Het is een ijzer- en zuurstofhoudend hydroxide dat ook moer asijzererts wordt genoemd. Limoniet komt wereldwijd voor als resultaat van de omzetting van andere ijzerhoudende mineralen.

Eolische afzetting: Een afzetting gevormd door wind.

Glauconiet: is een blauw- of geelgroen tot groen mineraal dat zeer vaak gevormd wordt door de verwerking van biotiet in ondiep zeewater.

Sesquioxiden: zijn oxiden die 3 zuurstofatomen bevatten en 2 andere atomen. Voorbeelden die in de bodem voorkomen: Aluminiumoxide en ijzeroxide.

Polysequumprofiel: een jong, min of meer sterk uitgesproken profiel (vaak een podzol) dat zich oppervlakkig ontwikkeld heeft in de uitgeloopte A₂ horizont van oudere bodemvormingen. (jonge profielontwikkeling in een oudere profielontwikkeling)

Administratieve fiche

Administratieve gegevens

| | |
|-------------------------------------|--|
| Opdrachtgever | NV IMWO Invest |
| Uitvoerder | Studiebureau Archeologie bvba |
| Vergunningshouder | Michiel Steenhoudt |
| Beheer en plaats opgravingsgegevens | Niet van toepassing |
| Beheer en plaats vondsten en stalen | Niet van toepassing |
| Projectcode | 2012/407 |
| Vindplaatsnaam | Dijkstraat |
| Locatie | Afdeling: 1 Sectie: G, percelen: 88a, 88x2, 88b3, 88a3, 88z2 (partim), 88r3, 88n3, 88m3, 88p3, 88l3, 88h3, 88k3, 88f3, 88g3, 88e3, 88c3, 88d3, 88d2, 88c2, 88t3, 88v3, 88s3, 92a, 93a, 90a, 90n, 90m, 90g, 90l, 90k, 90e, 94m, 94l, 94k, 94h, 94g en 94f |
| Lambertcoördinaat 1 | 192493,45; 215604,84; 19,57 |
| Lambertcoördinaat 2 | 192242,89; 215351,46; 19,57 |
| Lambertcoördinaat 3 | 192325,95; 215547,34; 19,56 |
| Lambertcoördinaat 4 | 192325,95; 215547,34; 19,56 |
| Kadasterplan | Zie bijlage |
| Topografisch plan | Zie bijlage |
| Begindatum | 03/12/2012 |
| Einddatum | 12/12/2012 |

Onderzoeksopdracht

| | |
|-----------------------------------|----------------------------|
| Verwijzing Bijzondere voorwaarden | Zie bijzondere voorwaarden |
| Archeologische verwachtingen | Zie bijzondere voorwaarden |
| Wetenschappelijke vraagstellingen | Zie bijzondere voorwaarden |
| Aarde van de bedreiging | Verkaveling |
| Randvoorwaarden | Niet van toepassing |

Raadpleging specialisten

| | |
|---|---------------------|
| Inbreng advies bij substantiële staalname | Niet van toepassing |
| Inbreng advies bij conservatie | Niet van toepassing |
| Inbreng wetenschappelijke begeleiding | Niet van toepassing |

